# Prospective, Actuariat et Data science en assurances Applications données de survie

26 octobre 2023

#### Séminaire ISFA 3ème année 2023

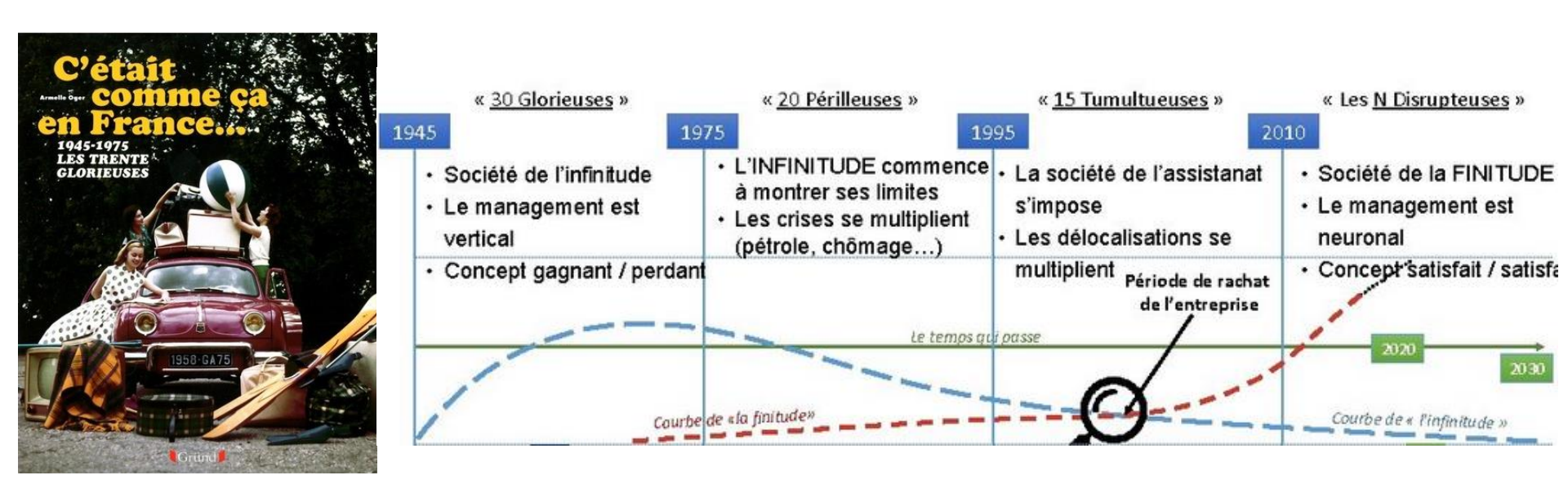
Intervention de Anani Olympio, PhD, MsBA, Actuaire certifié et expert ERM CERA Chercheur associé LSFA, Lyon 1 – Chaire DIALog Recherche et prospective stratégique groupe CNP Assurances

# Pas toujours facile de faire accepter les idées nouvelles

Changement de paradigme... d'un monde « volatile, incertain, complexe et ambigu » vers un monde « fragile, anxieux, non-linéaire et incompréhensible »!

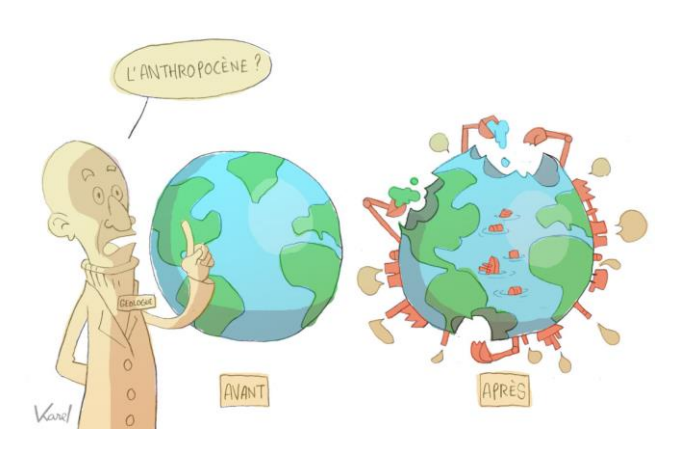
# Contexte historique après la 2ème guerre mondiale

Le monde est passé d'une vision de la l'infinitude des ressources à une vision de la finitude...

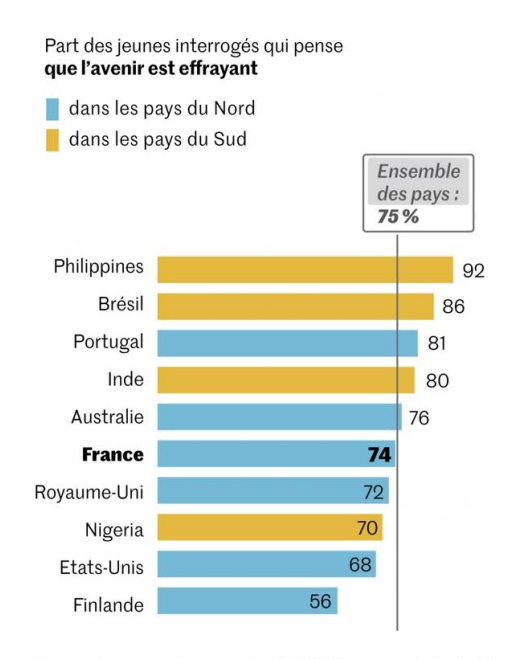


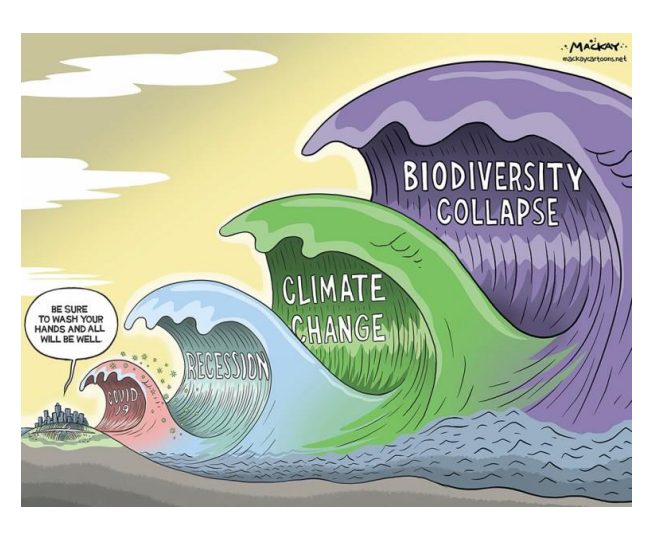
# Face à l'incertitude, à la complexité et à la multiplicité des attitudes face à l'avenir.

Optimistes, pessimistes, pragmatiques, réalistes...









Source: Sondage effectué auprès de 10 000 jeunes âgés de 16 à 25 ans, via la plateforme Kantar's LifePoints: The Lancet, 2021

Infographie Le Monde

# Le recours aux experts : oui, mais....

#### Attention aux biais et aux erreurs!



« Je pense que la demande mondiale en ordinateurs n'excèdera pas cinq machines. »



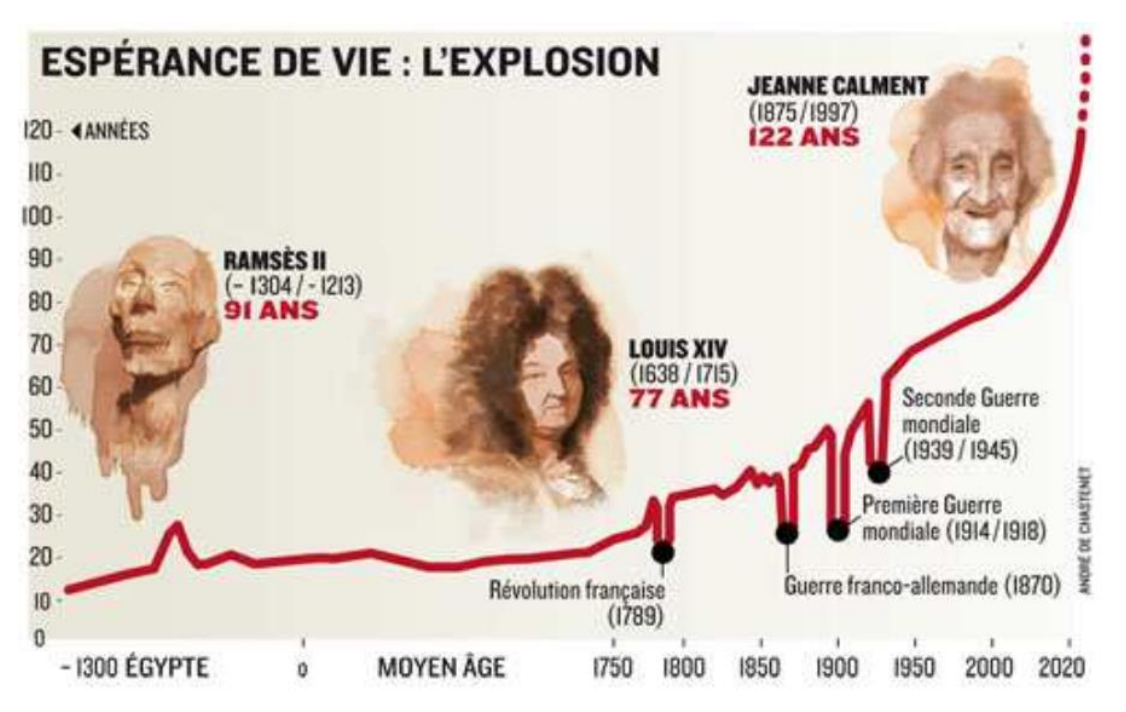
Steve BALLMER, CEO Microsoft en 2007

"There's no chance that the iPhone is going to get any significant market share. » USA Today, 30/04/2007

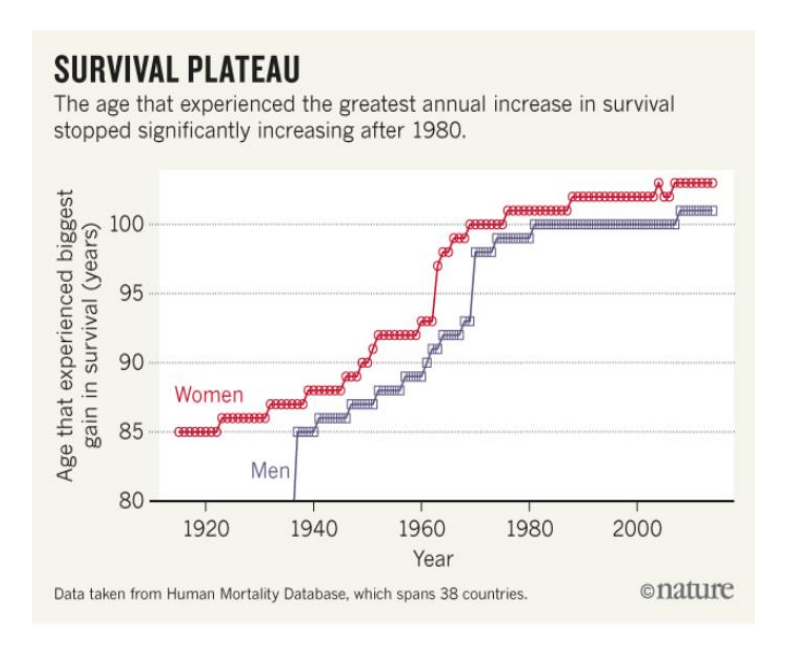
Balmer prédisait qu'Apple n'obtiendrait que 2 à 3% des parts de marché sur les téléphones mobiles.

Thomas WATSON sr., Fondateur d'IBM, (1874-1956) - Photo IBM En 2012, Apple disposait de 23% des parts de marché...

Les données historiques ne sont pas toujours suffisantes pour expliquer le futur... et nous ne disposons pas de données sur le futur!



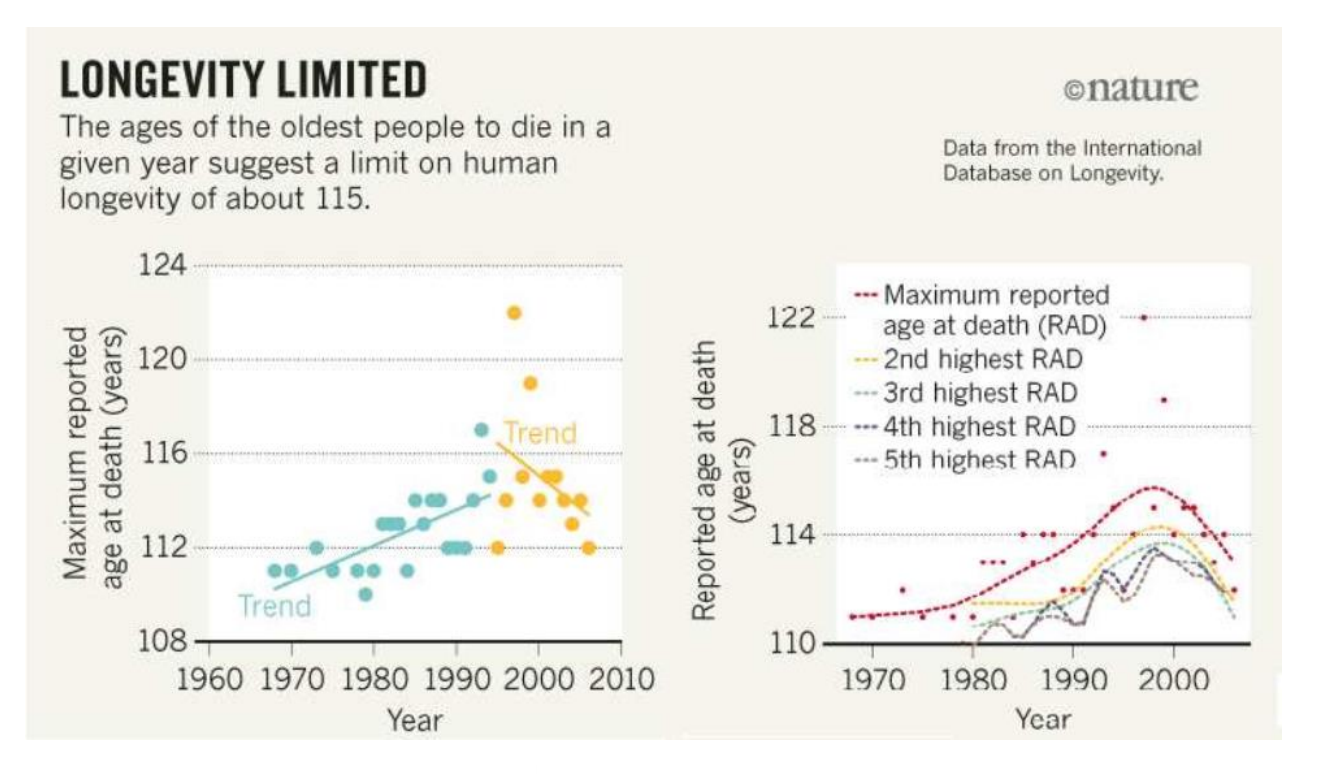
Les données historiques ne sont pas toujours suffisantes pour expliquer le futur... et nous ne disposons pas de données sur le futur!



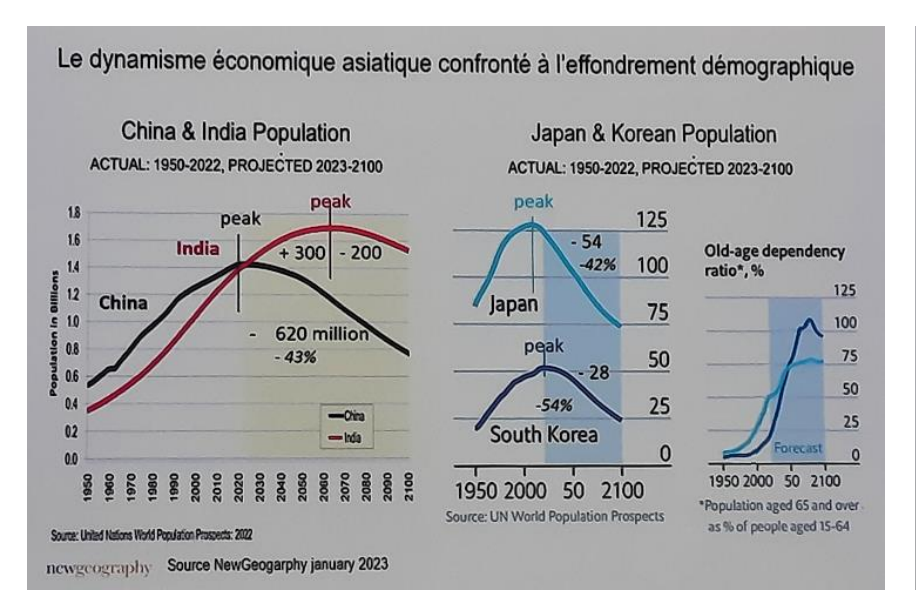
Âge au moment du décès de la plus vieille personne au monde

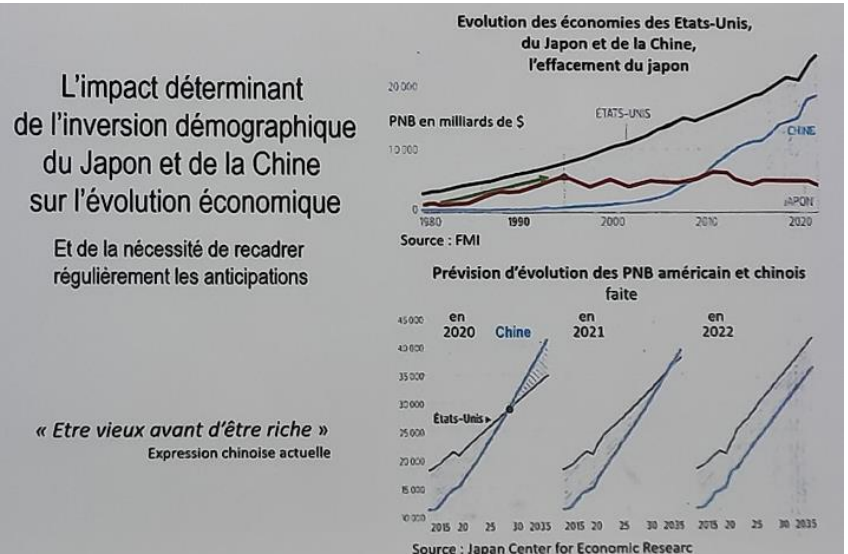
**CNP** Assurances

Les données historiques ne sont pas toujours suffisantes pour expliquer le futur... et nous ne disposons pas de données sur le futur !

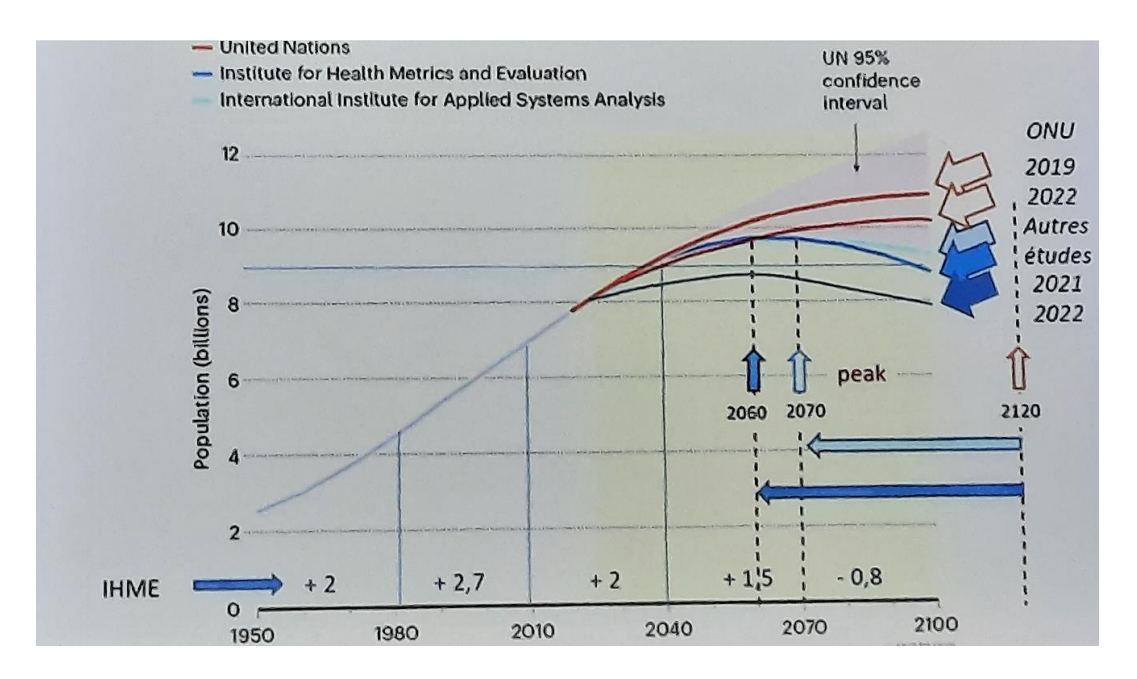


Les données historiques ne sont pas toujours suffisantes pour expliquer le futur... et nous ne disposons pas de données sur le futur!



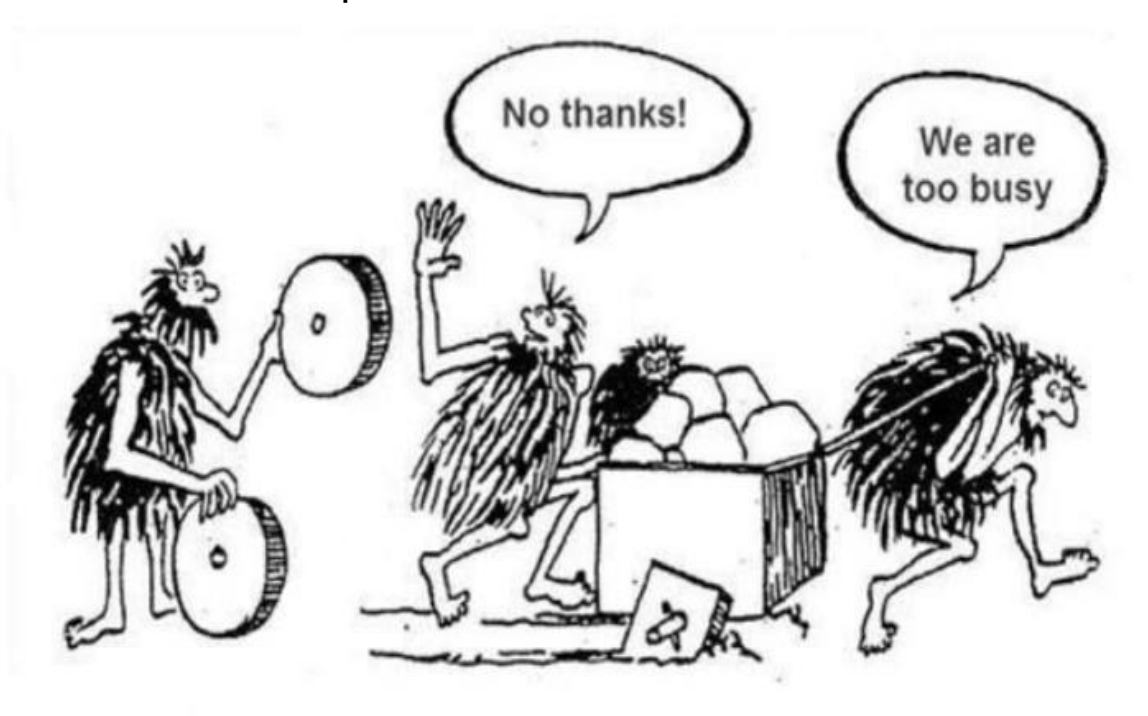


Les données historiques ne sont pas toujours suffisantes pour expliquer le futur... et nous ne disposons pas de données sur le futur!



# Souvent contraint par le court terme et ses réalités...

Pas toujours facile de faire accepter les idées nouvelles



#### **Sommaire**

01

Prévisions sur du temps long et apports de la prospective stratégique aux réflexions actuarielles

02

Renforcer nos hypothèses et nos prévisions

03

Démarche pratique pour réussir un projet data

04

Applications aux données de survie

05

**Bibliographie** 

# 01

Prévisions sur du temps long et apports de la prospective aux réflexions actuarielles

Alors quelles attitudes avoir face à l'avenir?

« Demain ne sera pas comme hier. Il sera nouveau et dépendra de nous. Il est moins à découvrir qu'à inventer.»



Gaston Berger, (1896-1960)

Quelques idées fondamentales de la prospective

Face aux incertitudes « des futurs possibles » l'on ne dispose que de points de vue, d'analyses, d'opinions, de représentations.

#### Prospective, de quoi parle-t-on?



**Une méthode** : analyser de manière systémique, explorer les possibles, créer des vues communes, innover et développer les capacités des acteurs.



**Un état d'esprit** : voir loin, large, prendre des risques et libérer l'homme du fatalisme (l'anti-fatalité) – *Gaston Berger*, père de l'École de prospective française (1)



La **bonne prospective** n'est pas celle qui prédit l'avenir mais celle qui conduit à l'action adaptée.

#### L'avenir est incertain et offre un champ de futurs possibles...





#### TENDANCE LOURDE

- Phénomène à forte inertie à moyen-long terme, et très structurant
- Évolutions lentes mais susceptibles d'être infléchies.

Exemple : Le changement climatique ; la croissance de la dépendance liée au grand âge

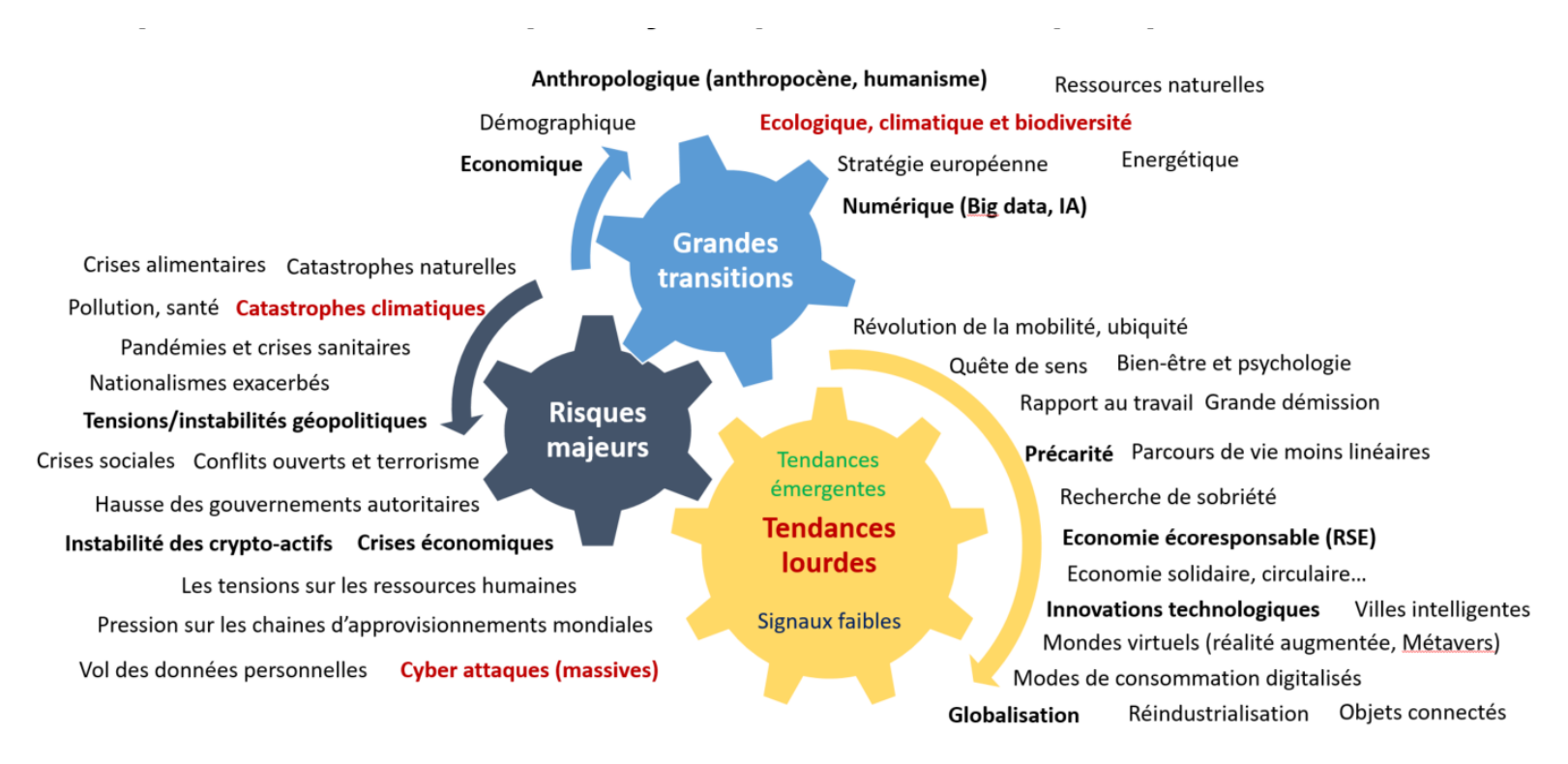
#### INCERTITUDE MAJEURE

Phénomène qui peut ou non se produire et qui est déterminant pour le sujet étudié, à l'horizon étudié.

#### ÉMERGENCE

• Phénomène émergent qui peut entraîner une inflexion de tendance lourde, une discontinuité, ou la naissance d'une nouvelle tendance.

La démarche systémique proposée par le dispositif de Prospective permet de se faire une idée de la réalité qui se joue



Face aux futurs possibles - Changer de paradigme... n'est pas une affaire facile!

- « Il n'y a pas de vent favorable pour celui qui ne sait pas où il va » (Sénèque)
- « Le hasard ne favorise que les esprits préparés » (Louis Pasteur)
- « Voir loin, large, profond, prendre des risques, penser à l'homme » (Gaston Berger 1958)
- « Voir autrement, voir ensemble, utiliser des règles simples pour la rigueur collective» (Michel Godet)

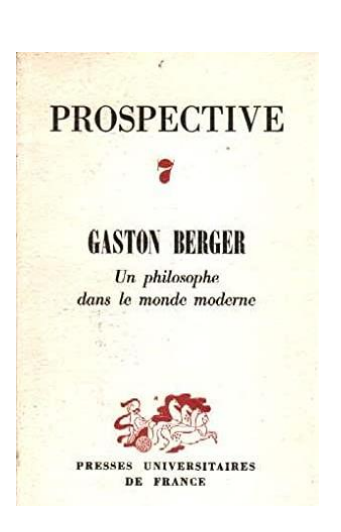
#### Faces aux futurs possibles - Les apports de la Prospective

#### La Prospective est anticipation pour éclairer l'action

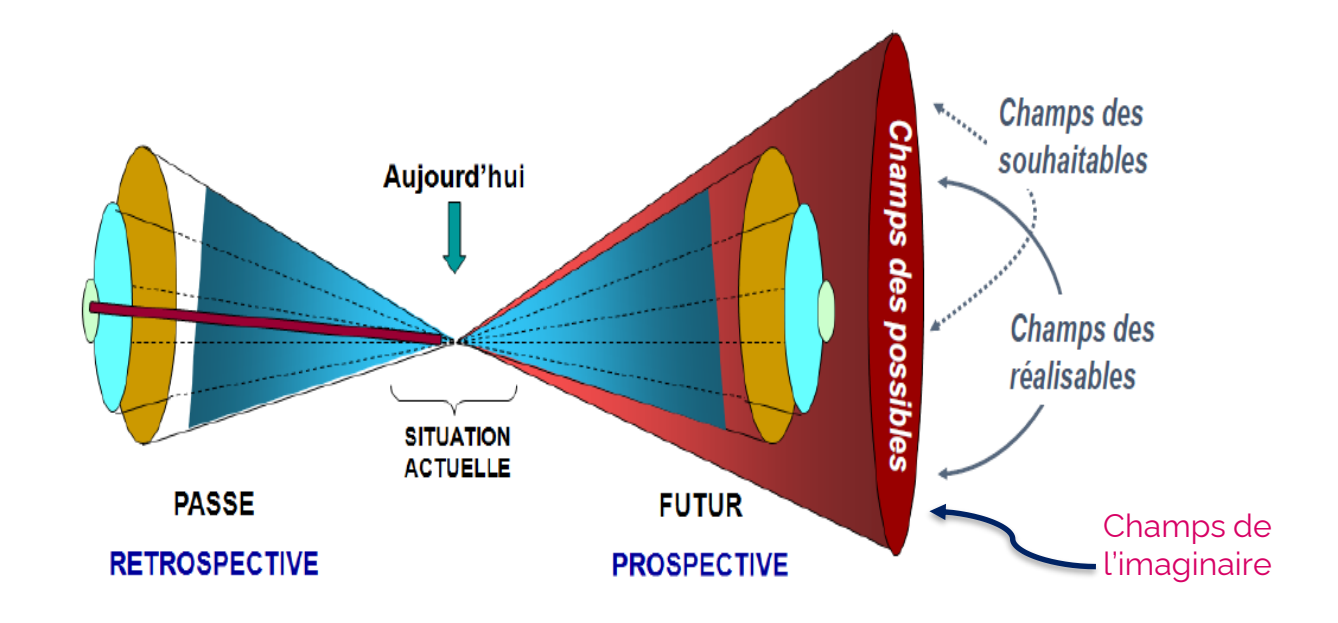
- ✓ Discipline intellectuelle (Pierre Massé),
- ✓ une démarche et un état d'esprit s'attachant à « voir loin, voir large et profond, prendre des risques, penser à l'homme » (Gaston Berger),
- ✓ mais aussi autrement (innovation) et ensemble (appropriation)

#### Donner du sens à l'action

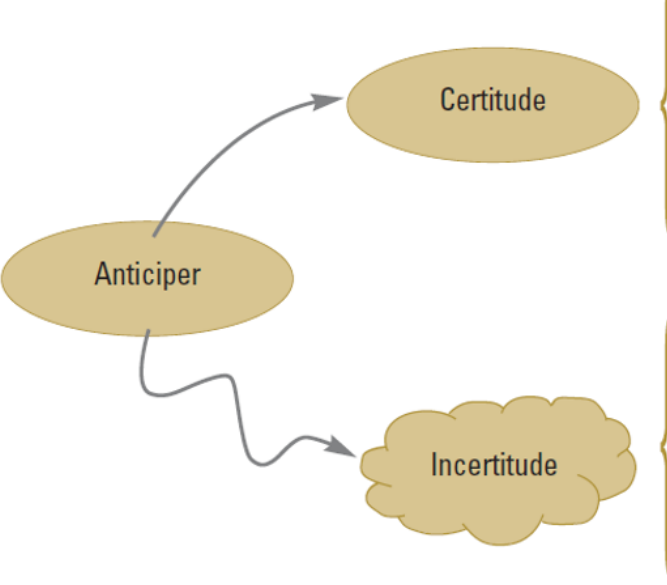
✓ La vision globale, volontariste et long terme, s'impose pour donner un sens à l'action



L'approche systémique, analytique et pluri disciplinaire de la prospective permet de proposer des scénarios des futurs possibles



#### Gestion des risques – prévoir et préparer les futurs possibles



- Vieillissement de la population
- Dette publique
- Démographie
- Elargissement de l'Union européenne
- Réchauffement climatique
- Mondialisation
- . . .

Prévoir le futur Prévision

- Comportement du consommateur
- Nouvelles maladies
- Evolution de la technologie
- Catastrophes écologiques
- ...

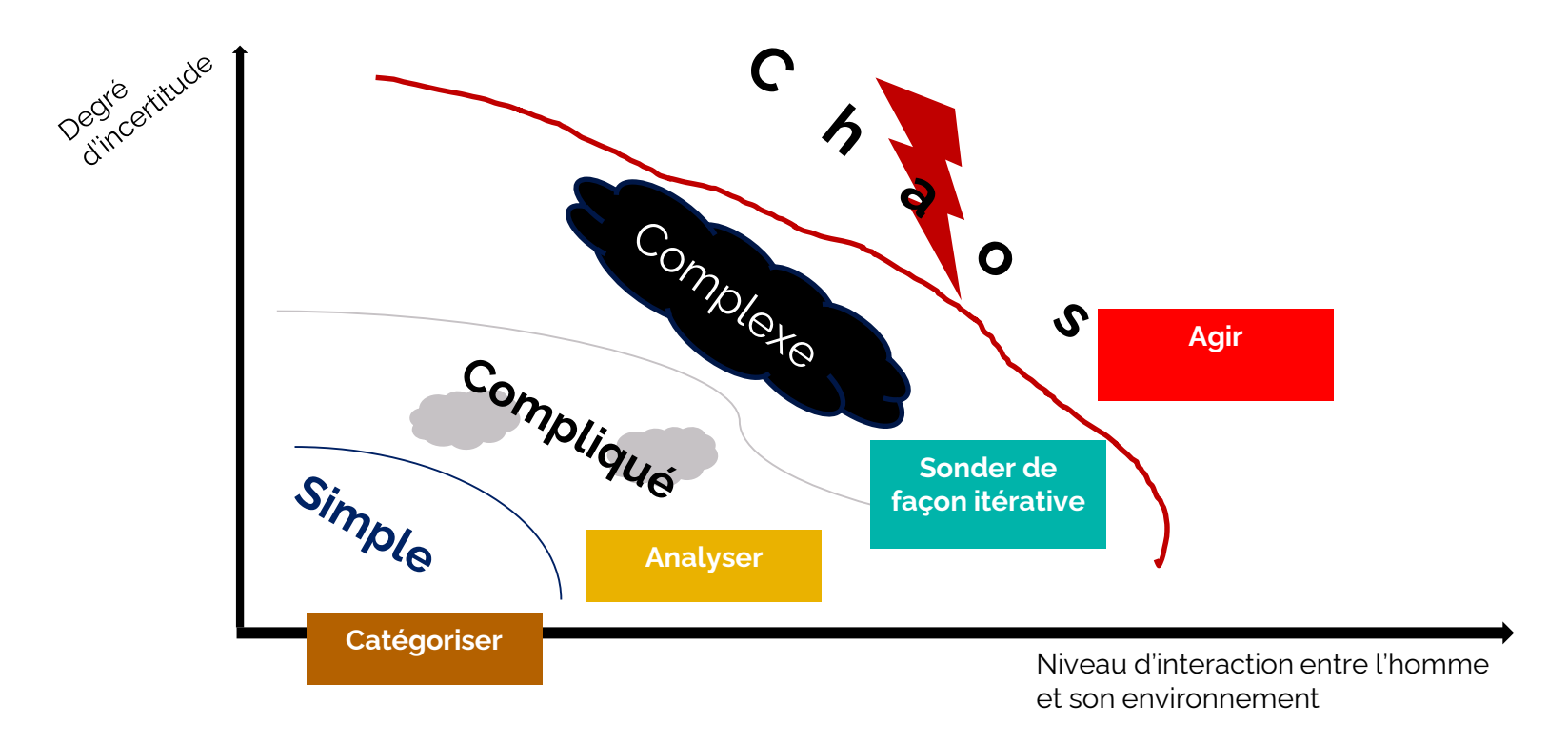
Préparer des futurs Prospective

#### Gestion des risques – outils et stratégie d'évaluation pour les actuaires

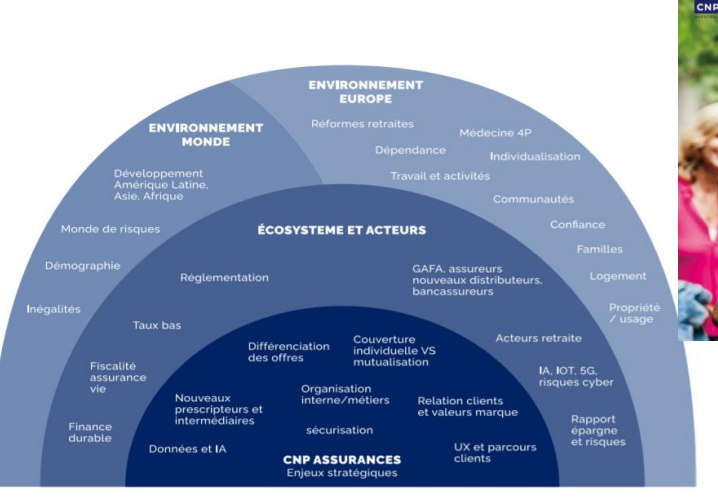
Thématiques		Prévisions		Stress tests (tests de résistance)		Prospective
Question principale	•	De quoi demain sera-t-il fait?	•	Quel niveau de résistance après un chocs?	•	Quel avenir possible souhaitons-nous voir advenir?
Préoccupation principale	•	Ne pas faire d'erreur dans les prévisions		Ne pas faire d'erreurs sur les hypothèse du test	•	Ne pas subir notre futur
Approche	•	Segmentation Réduction de dimension Simplification	:	Scénario pouvant mettre en péril l'activité Test unidimensionnel Stress tests ponctuels sur des facteurs de risque spécifiques et non globaux	•	Vision globale integrant les interactions entre les variables Analyse retrospective (passé), present et prospective (futurs possibles) Multifactorielle et pluridisciplinaire
But visé	•	Description de tendances probables	:	L'objectif d'un test de résistance est double. En temps normal, il est destiné à identifier les vulnérabilités. En période de crise, les tests de résistances servent à orienter la gestion de crise et sa résolution.	•	Productions d'avenir souhaitables pour tous parmi l'ensemble des futurs possibles Hypothèses et scénarios possibles pour encadrer les incertitudes
Horizon	•	Court et moyen termes Typiquement 3 ans (maximum)	•	Court et moyen termes		Long terme (de 10 à 30 ans) Moyen terme (de 3 à 10 ans)
Méthode	•	Etudes fondées sur des extrapolations de séries statistiques	:	Un ensemble d'expositions au risque soumis à un choc adverse Un scénario (historique et hypothétique) , qui définit l'ensemble des chocs appliqués Un modèle, qui traduit le choc en un ensemble d'impacts et décrit leur propagation dans le système considéré Une estimation de l'impact sur une grandeur caractérisant la capacité de résistance de l'institution		Créativité soutenue par des confrontations entre acteurs divergents Etudes spécifiques pour éclairer des scénarios alternatifs et de ruptures, dans le but de dégager des volontés partagées (vision commune)
Façon dont on se représente l'avenir	•	L'avenir est une extrapolation plus ou moins prévisible du passé et du présent	•	L'avenir est une extrapolation plus ou moins prévisible du passé et du présent soumis à un scénario de choc	•	L'avenir est à construire Les représentations qu'on se fait de l'avenir (et/ou l'absence de telles représentations) déterminent le présent
Attitudes à l'égard de l'avenir	r.	Réduction des incertitudes Survalorisation des risques	:	Test de résistance / résilience Prise en compte de l'impact d'événements exceptionnels mais plausibles	:	Acceptation de l'incertitude Volontariste et tenant compte des conséquences sur l'humain et son environnement

Source: Michel Godet

Gestion des risques - les apports de l'exploration prospective pour se préparer face aux incertitudes du futur



#### Quelques illustration d'études prospectives









Système prospective d'un assureur

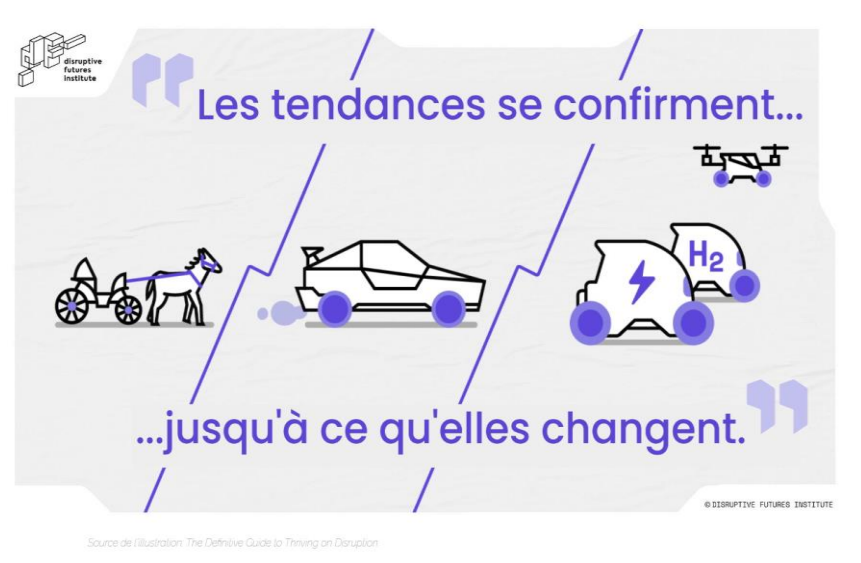
Source: Michel Godet

# 02

Renforcer nos hypothèses et nos prévisions

# Les hypothèses et leurs limites

Utiliser des hypothèses fixes revient à faire un pari singulier sur un avenir spécifique, souvent à l'exclusion de tout le reste.

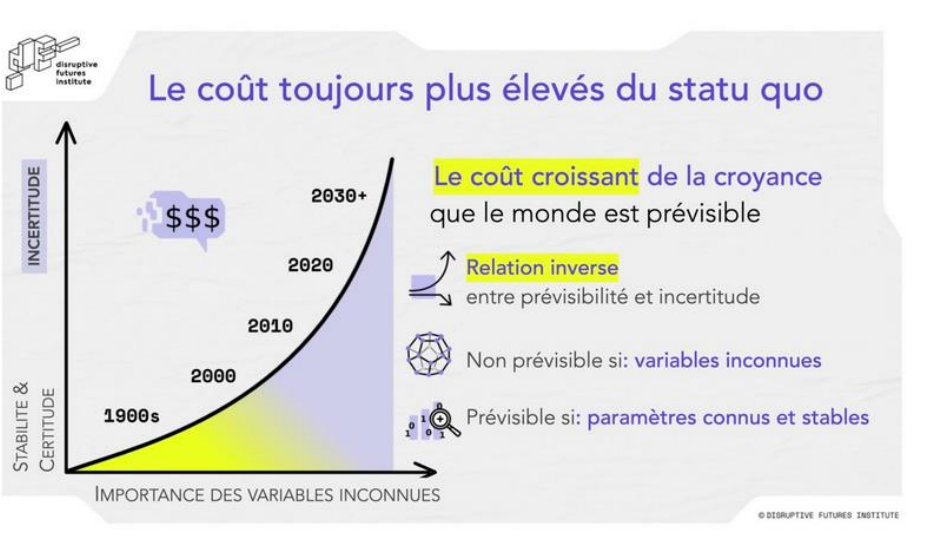


# Quelles implications de ces hypothèses si elles s'avèrent erronées?

- Un biais inhérent aux hypothèses consiste à tenir pour acquis que l'avenir ressemblera au passé.
- La considération d'hypothèses n'est pas limitées aux entreprises, aux gouvernements ou aux décideurs; tout le monde fait des hypothèses.
- Le facteur déterminant réside dans la mesure dans laquelle nous choisissons de nous fier à ces hypothèses et dans ce que nous décidons d'imaginer – et d'accepter – au-delà des hypothèses ellesmêmes.

# Les hypothèses et leurs limites

Le problème aujourd'hui est que le coût de la confiance dans ces hypothèses erronées augmente.



S'appuyer sur des prévisions quantitatives qui extrapolent des comportements futurs à partir d'un historique de données a des implications.

- Les prévisions économiques abondent, mais elles n'ont pas empêché le monde de se réveiller brusquement en 2022 avec les plus hauts niveaux d'inflation enregistrés depuis un demisiècle.
- Dans le monde industriel, les hypothèses formulées par Blackberry, Blockbuster, Nokia et Palm (Pilot) ont toutes scellé leur avenir... pour rester dans le passé.

#### Le modèle de projection démographique Omphale (INSEE)

Le **modèle Omphale** permet de réaliser des projections (sur une période donnée entre T et T+n années) de population infra-nationales (sur toute zone géographique de plus de 50 000 habitants ) selon la méthode des composantes.

- L'évolution de la population d'un territoire dans le temps résulte de l'interaction entre trois composantes démographiques : les **naissances**, les **décès** et les **migrations**.
- Le modèle Omphale propose une modélisation de ces composantes à partir de l'observation récente des comportements démographiques.
- Il fait appel aux populations par sexe et âge au 1er janvier T, issues du recensement de la population.
- Les divers quotients sont calculés en T sur la zone. Par la suite, ils évoluent selon les hypothèses définies par l'utilisateur.
- Dans les scénarios standard, les quotients démographiques évoluent comme le niveau national qui prolonge les dernières tendances de fécondité et de mortalité. Les quotients de migrations internes sont maintenus constants.

Ces projections ne peuvent s'assimiler à des prévisions car on ne peut associer une probabilité aux différents hypothèses.

Le modèle de projection démographique Omphale (INSEE) : projection 2021

• Au 1er janvier n+1, le nombre d'habitants est égal à la population au 1er janvier de l'année précédente n, augmentée des naissances et du solde entre les entrées et les sorties de population sur le territoire au cours de l'année n, et diminuée des décès.

$$Pop_{1,1,n+1} = Pop_{1,1,n} + naissances_n - deces_n + SoldeMigratoire_n$$

#### Le modèle de projection démographique Omphale (INSEE) : projection 2021

• Au cours de l'année n, le nombre de décès de personnes de sexe s et d'âge a (atteint dans l'année) est donc calculé ainsi, si a>0 :

$$Deces_{n,s}^a = (Pop_{1.1.n,s}^{a-1} + SoldeMigratoire_{n,s}^a / 2) * QuotientMortalite_{n,s}^a$$

• Le nombre de décès de nouveau-nés est calculé, pour les garçons et les filles, en appliquant aux naissances de l'année les quotients de mortalité à l'âge 0, soit :

$$Deces_{n,s}^{0} = naissances_{n,s} * QuotientMortalite_{n,s}^{0}$$

#### Le modèle de projection démographique Omphale (INSEE) : projection 2021

- Le nombre de naissances est calculé en appliquant à la population moyenne de l'année des femmes d'âges féconds (15-50 ans en âge atteint dans l'année) les taux de fécondité projetés par âge (atteint dans l'année).
  - ✓ Le nombre de naissances issues de femmes atteignant l'âge (a) au cours de l'année n est égal au taux de fécondité de ces femmes, multiplié par le nombre moyen de femmes de cet âge.
  - ✓ Ce nombre moyen est estimé par le nombre de femmes présentes au 1er janvier (d'âge a-1 donc au premier janvier) auquel est ajoutée la moitié du solde migratoire de femmes d'âge (a) et retirée la moitié des décès de femmes d'âge (a), pour tenir compte des variations d'effectifs en cours d'année suite aux échanges avec l'extérieur et aux décès, et être cohérent avec la définition des taux de fécondité établie par l'Insee dans la situation démographique (Beaumel, Papon, 2021).
  - ✓ Les naissances sont réparties entre garçons et filles (105 garçons pour 100 filles).
- Le nombre annuel de naissances est donc calculé ainsi :

$$naissances = \sum_{a=15}^{50} (Pop_{1.1.n,Femmes}^{a-1} + (SoldeMigratoire_{n,Femmes}^{a} - deces_{n,Femmes}^{a})/2) * TauxFecondite_{n}^{a}$$

Le modèle de projection démographique Omphale (INSEE) : projection 2021

$$Pop_{1.1.n+1} = Pop_{1.1.n} + naissances_n - deces_n + SoldeMigratoire_n$$

• Au cours de l'année n, le nombre de décès de personnes de sexe s et d'âge a (atteint dans l'année) est donc calculé ainsi, si a>0 :

$$Deces_{n,s}^a = (Pop_{1.1.n,s}^{a-1} + SoldeMigratoire_{n,s}^a / 2) * QuotientMortalite_{n,s}^a$$

• Le nombre de décès de nouveau-nés est calculé, pour les garçons et les filles, en appliquant aux naissances de l'année les quotients de mortalité à l'âge 0, soit :

$$Deces_{n,s}^{0} = naissances_{n,s} * QuotientMortalite_{n,s}^{0}$$

• Le nombre de décès de nouveau-nés est calculé, pour les garçons et les filles, en appliquant aux naissances de l'année les quotients de mortalité à l'âge 0, soit :

$$naissances = \sum_{a=15}^{50} (Pop_{1.1.n,Femmes}^{a-1} + (SoldeMigratoire_{n,Femmes}^{a} - deces_{n,Femmes}^{a})/2) * TauxFecondite_{n}^{a}$$

#### Le modèle de projection démographique Omphale (INSEE) : projection 2021

• La population au 1er janvier de l'année n+1 par sexe et âge atteint au 1er janvier n+1 se déduit alors de la population par sexe et âge au 1er janvier n de la façon suivante :

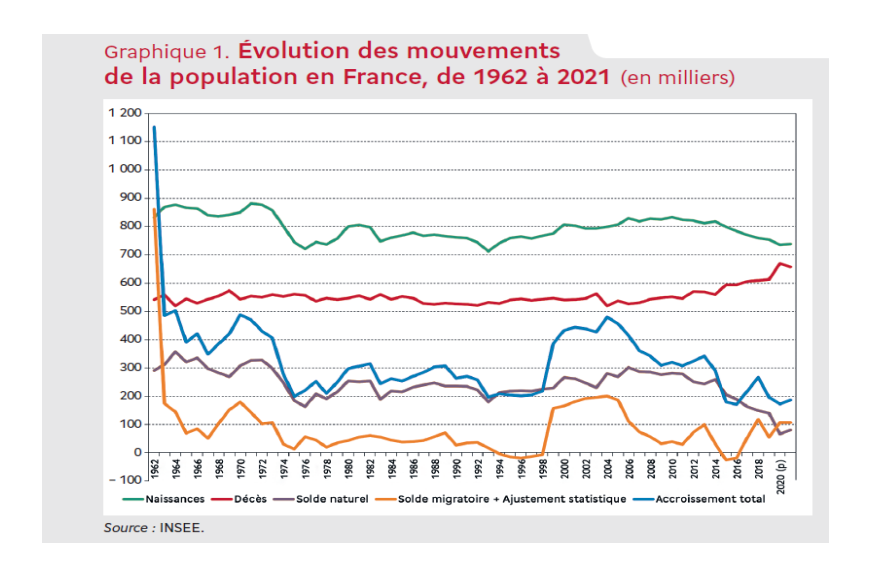
$$Pop_{1,1,n+1,s}^a = Pop_{1,1,n,s}^{a-1} - D\acute{e}c\grave{e}s_{n,s}^a + Solde\ migratoire_{n,s}^a + Ajust._{n,s}^a$$
 pour a>0

$$Pop_{1.1.n+1,s}^0 = Naissances_{n,s} - D\acute{e}c\grave{e}s_{n,s}^a + Solde\ migratoire_{n,s}^a + Ajust_{n,s}^a$$
 pour a=0

où Ajust représente la composante liée à l'ajustement, les années pour lesquelles il a été introduit

Analyse rétrospective des incertitudes sur l'évolution des jeux d'hypothèses pour la projection démographique

En 2016, lorsque l'INSEE élabore ses projections de population 2013-2070 pour la France, les diverses tendances (évolutions de la fécondité et de la mortalité réelles) sont fermement établies.



Modèles de projection démographique Omphale de l'INSEE utilise 3 paramètres (3 hypothèses):

- Fécondité (natalité)
- Mortalité (décès)
- Migration (solde migratoire)

#### Des incertitudes sur l'évolution des jeux d'hypothèses pour la projection démographique

Les préoccupations autour de la fécondité restent un sujet d'avenir, un enjeu démographique, social et économique...

#### Un vieux sujet

# 1868 1889 1910 1931 1.034.000 927.000 822.000 730.000 NOMBRE DE NAISSANCES EN FRANCE (Territoire actuel)

Source : INSEE

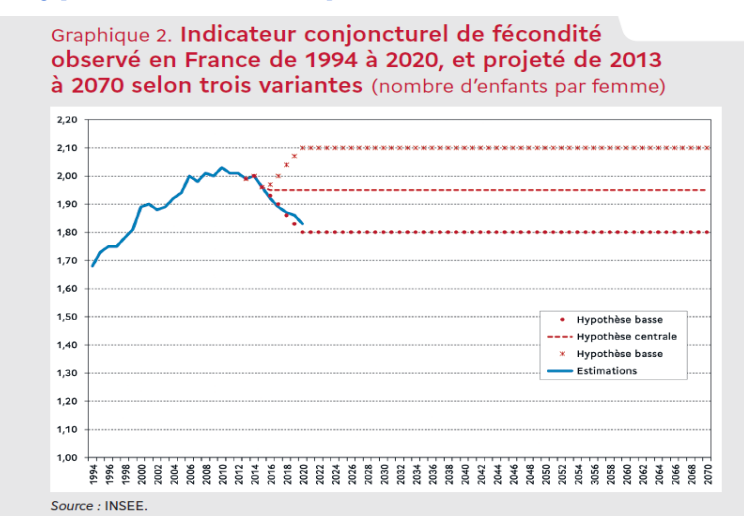
Champ : France hors Mayotte jusqu'en 2013 et y compris Mayotte à partir de 2014.

#### Mais un vieux sujet d'actualité

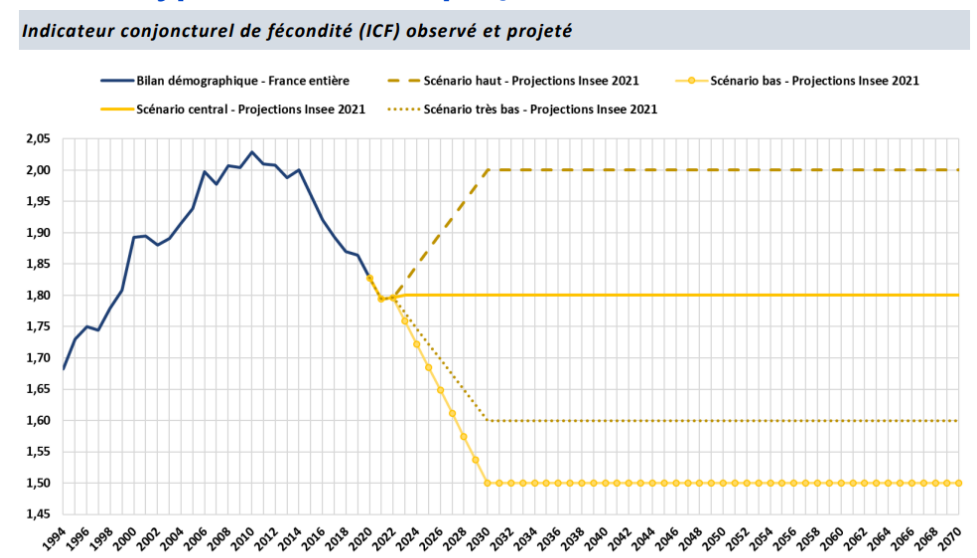
	INDICE CONJONCTUREL DE FÉCONDITÉ	ÂGE MOYEN DES MÈRES
2000	1,89	29,3
2010	2,03	29,9
2015	1,96	30,4
2016	1,92	30,5
2017	1,89	30,5
2018	1,87	30,6
2019	1,86	30,7
2020	1,84	30,8

Une révision à la baisse des projections publiées par l'Institut national de la statistique et des études économiques - l'INSEE à fin 2021.

#### Hypothèse 2016 (projection 2013-2070)



#### Hypothèse 2021 (projection 2021-2070)



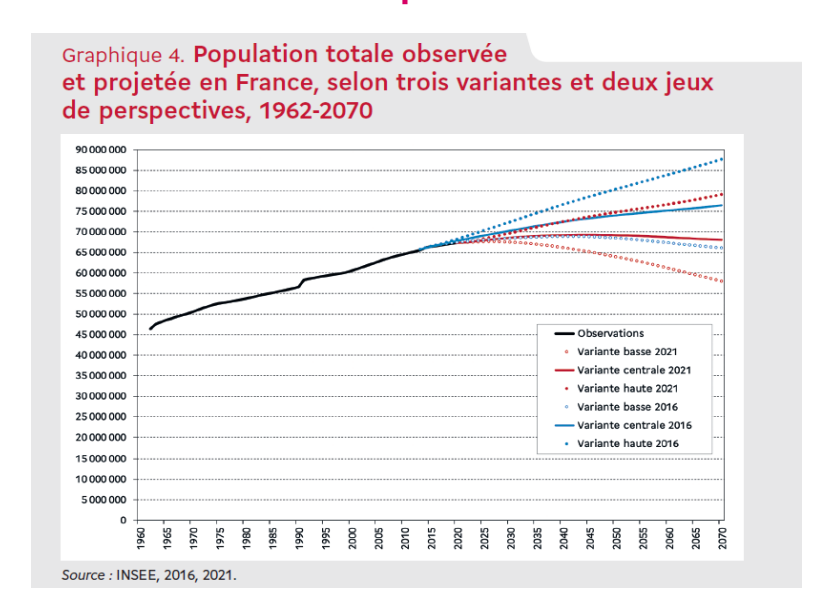
Source : Insee, estimations de population et statistiques de l'état civil jusqu'en 2021. Projection de population 2021-2070 (Insee Résultat).

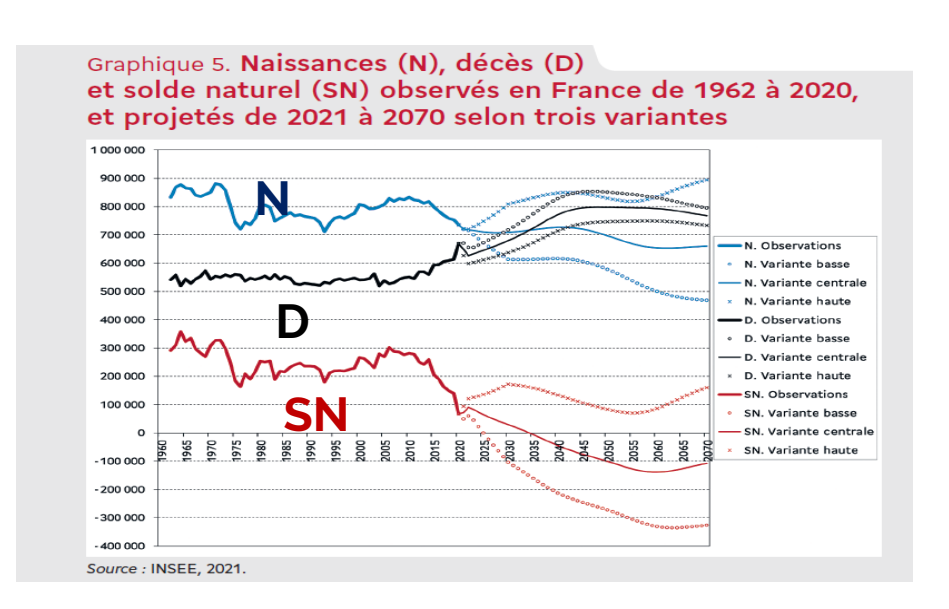
Une révision à la baisse des projections publiées par l'Institut national de la statistique et des études économiques - l'INSEE à fin 2021.

Les nouvelles projections s'appuient sur les estimations de population par sexe et âge au 1er janvier 2021, publiées en mars 2021.

- Ces projections sont toujours réalisées par la méthode des composantes, c'est à dire à partir d'hypothèses sur les trois éléments conditionnant l'évolution de la population : fécondité, mortalité et migration.
- Quelques modifications méthodologiques ont été apportées dans la projection de chacun des flux.
- De plus, **l'intégration des nouvelles données disponibles** dans le calcul des tendances a conduit à faire de **nouvelles hypothèses sur l'évolution de ces trois composantes**.
- Ces tendances sont analysées hors effet de la pandémie depuis 2020.
- Des hypothèses particulières ont été faites pour 2021 et 2022.

Une révision à la baisse des projections publiées par l'Institut national de la statistique et des études économiques - l'INSEE à fin 2021.





Tandis que dans les précédentes perspectives 2017, la tendance de très long terme n'était orientée à la baisse que dans la seule variante basse, c'est désormais, perspective 2021, aussi le cas dans la variante centrale.

Les perspectives démographiques de la France : révisions de 2021

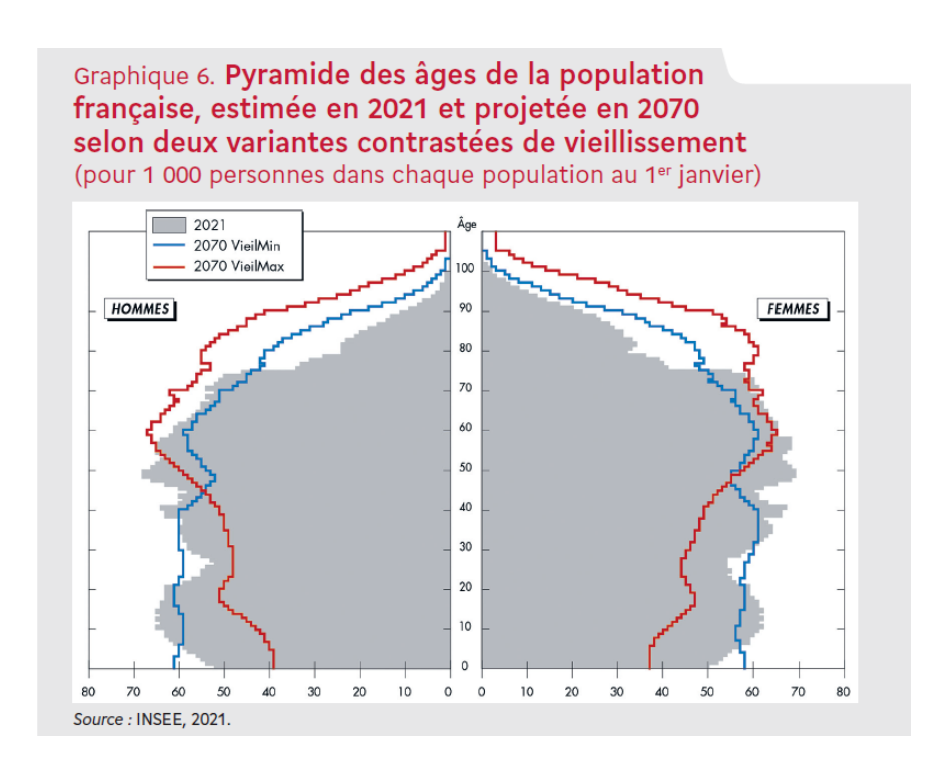


Tableau 2. Population totale et par grands groupes d'âges, en France, projetée selon deux variantes contrastées de vieillissement et deux jeux de perspectives à l'horizon 2070

Variante	Population							
	Tous âges		0-14		65 ou +			
VieilMin 2016	82 779 036	100	14 770 786	17,8	20 603 011	24,9		
VieilMin 2021	74 178 288	100	12 988 327	17,5	17 997 337	24,3		
VieilMax 2016	70 726 156	100	9 616 309	13,6	23 586 730	33,3		
VieilMax 2021	62 718 390	100	7 635 304	12,2	21 472 798	34,2		

Source: INSEE, 2016, 2021.

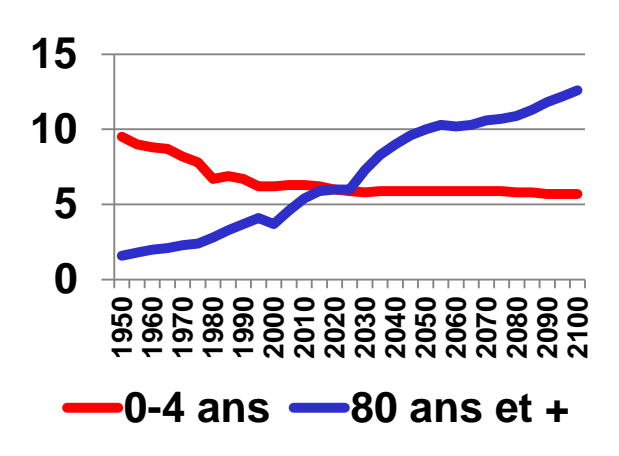
#### Arbitrages entre les « Crèches » vs les « EHPAD »?

Des incertitudes demeurent également sur les évolutions socio-culturelle, les arbitrages « politiques », les conséquences des risques émergents...

## Evolution des naissances en France métropolitaine

## 1 000 000 800 000 600 000 400 000 200 000 0 200 000 Naissances

# Part des populations âgées de moins de 4 ans et de plus de 80 ans (en %)



Source: INSEE, revue Futuribles

# 03

Démarche pratique pour réussir un projet data

#### **Une démarche**

#### Les principales étapes d'un projet data

#### 1. Imaginer:

- Use cases / Business cases
- KPIs pertinents

#### 2. Matérialiser:

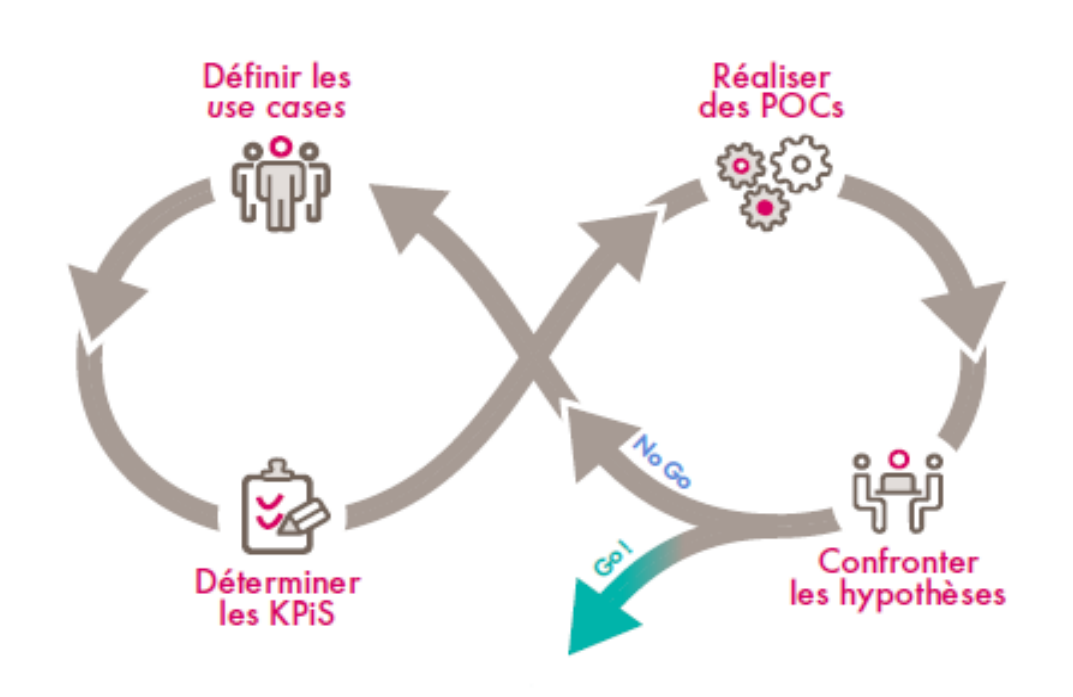
- Equipe pluridisciplinaire
- IT, langage de programmation et collecte des données (internes et externes)

#### 3. Exploiter:

- Courte démonstration de la faisabilité via un Proof of Concept (PoC)
- Valoriser les données puis communiquer (décrire, prédire, prescrire et visualiser...)

#### 4. Industrialiser:

- Mise en production des PoCs



CNP Assurances 42

#### **Une démarche**

#### Réflexion préliminaire et les objectifs

■ Exemple du risque de comportement : rachats et résiliations



CNP Assurances 43

Volumétrie, variété, vélocité et véracité

#### Exemples de critères utilisés :

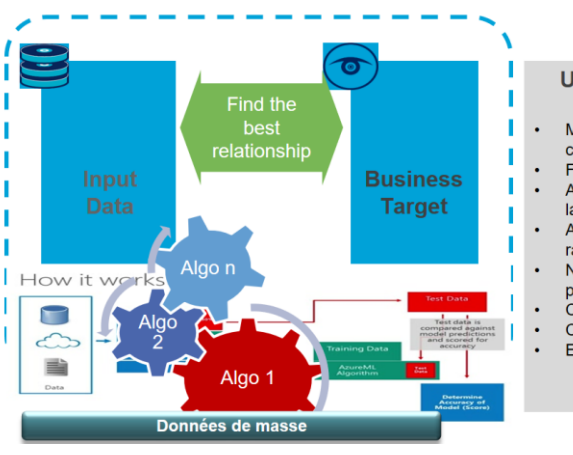
- **Données identitaires :** âge, situation maritale, CSP, composition familiale, lieu de résidence, établissement bancaire de référence,...
- Données contractuelles : Nombre de contrats en cours, ancienneté dans les contrats, avenants, encours,...
- ✓ Données transactionnelles : Nombre d'actes de gestion passés, montants des opérations passées : par support (€ ou UC,...)
- Données exogènes : Open data, données de marché (ex: valeur du CAC 40), données INSEE,...



#### Volumétrie, variété, vélocité et véracité

#### SOURCES / **DATA**

- CRM data Asset
- Management Transactionnal data
- Financial market Past commercial offers
- Bloomberg API,
- National statistics Etc.



#### **USE CASE**

- Marketing campaign
- Fraud detection Anti-Money laundering
- Actuarial loss ratio prediction
- New contract propensity
- Churn prediction Claims prediction
- Etc.

		21 TABLES FLUX		21 TABLES STOCK			
D C O O N N N T É R E A S T	A N N É E	Table flux réseau l système	Table flux réseau 2 système 2	Table flux réseau n système	Table flux réseau l système	Table flux réseau 2 système 2	Table flux réseau n système
D C	A N N É	Table client					
O L N I É É E E E T N		Table agent					

#### LISTE DES VARIABLES BRUTES

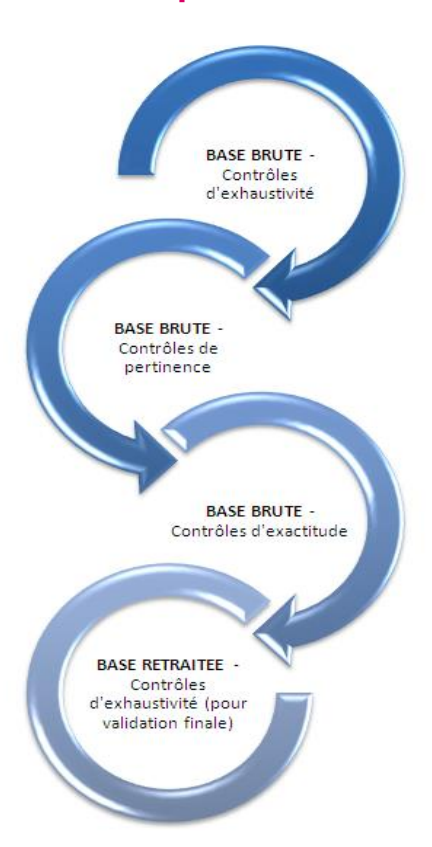
- Année
- Réseau de distribution
- Produit
- Provision mathématiques

- Rachats
- Versements
- Arbitrages
- Type de cotisations

- Profil de gestion
- Âge
- Ancienneté
- **CSP**

- Situation familiale
- Département assuré
- Département agent
- Historiques (PM et flux)

#### Contrôles de qualité et d'exhaustivité



- Le 1<sup>er</sup> contrôle à effectuer sur la base brute est celui de l'exhaustivité par comparaison entre données des bases et éléments comptables
  - du Chiffre d'Affaires (CA)
  - des Prestations sinistres
- Le 2<sup>nd</sup> contrôle est celui de la pertinence sur les variables d'intérêt
  - Compilation des variables nécessaires au calibrage des lois et paramètres des différents risques.
  - Compilation des variables de contrôle et de backtesting des lois
- Le 3<sup>ème</sup> contrôle est celui de l'exactitude des variables
  - Sur format, sur valeurs,
  - Sur les limites contractuelles,
  - etc...

CNP Assurances — 46

#### Retraitement complémentaires et enrichissement des données

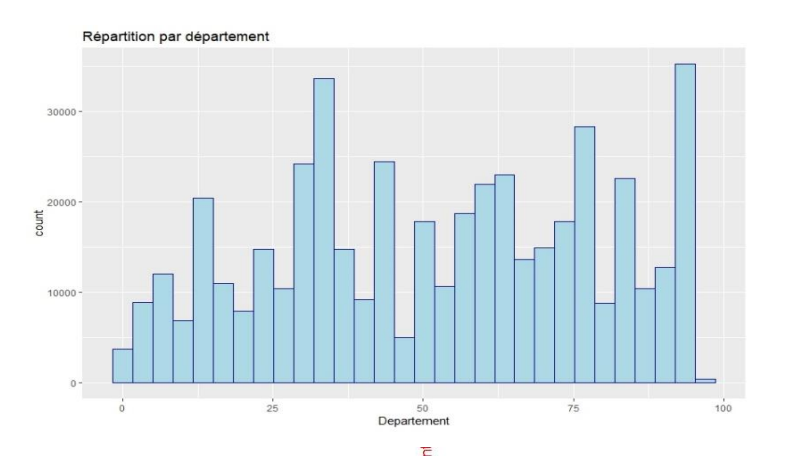
- 1 Retraitements des données
  - Harmonisation des données aux formats et aux modalités différents
    - Par exemples : plusieurs modalité pour une même signification (variables CSP, profils de gestion, situation familiale), formats différents bloquant les jointures (code produit, code réseau)
  - Données manquantes
    - Vérifier que le taux de variables manquantes globalement satisfaisant (0% variables quantitatives, jusqu'à 20% des variables qualitatives - sur les variables CSP et situation familiale)
    - Traitement des données manquantes : création d'une modalité « 0 » ou « inconnu » pour les données manquantes, compléter par une méthode adaptée (régression stochastique,...)

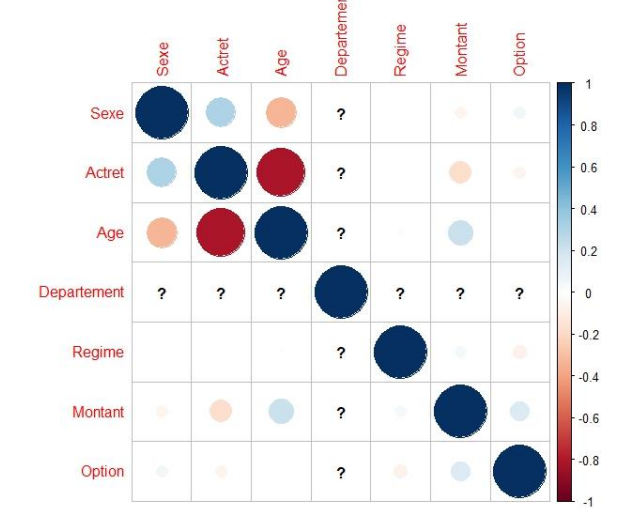
- 2 Enrichissement de la base
  - À partir de notre base de données
    - · Eloignement agent/assuré
    - Taux de sortie moyen des années passées
    - Création de tranches pour les variables qualitatives
    - . . . .
  - ▶ À partir de données extérieures
    - Création d'une variable « Salaire » : source INSEE, Obtenue à partir des informations CSP et département (approximation par la PM lorsqu'une des deux variables est manquante)

#### Statistiques exploratoires des données

Variable	Diagramme
Sexe	
Actret	
Age	
Departement	

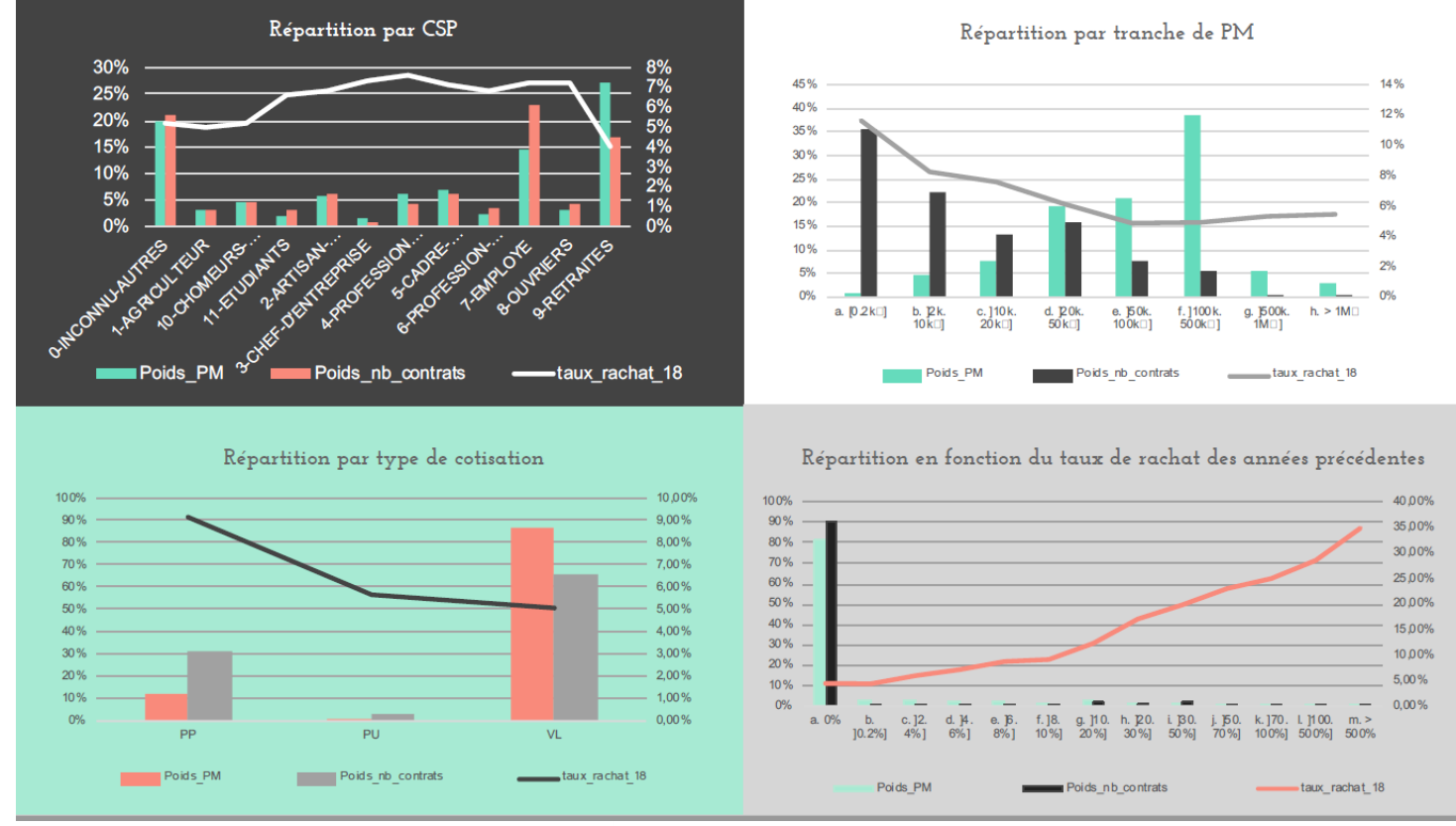
Variable	Diagramme
Regime	
Option	
Montant	





\_\_\_\_\_ ∠

#### Statistiques exploratoires des données

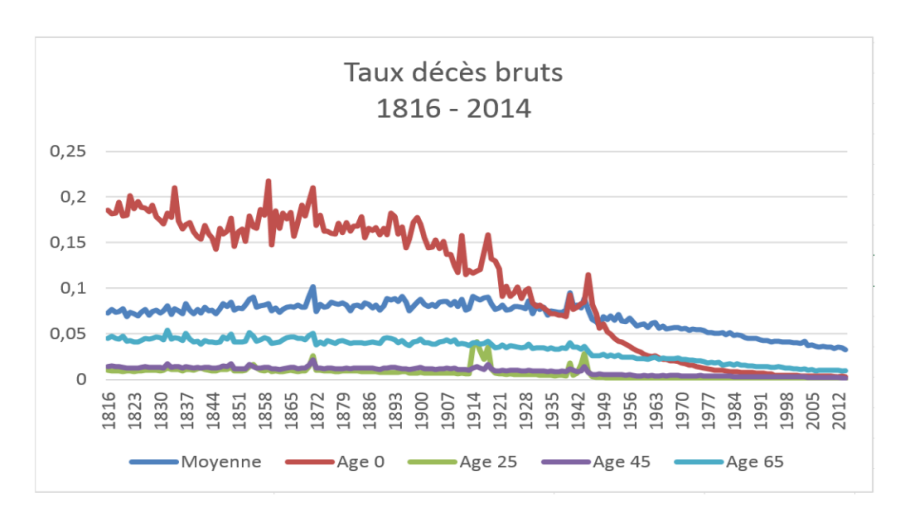


04

Applications aux données de survie

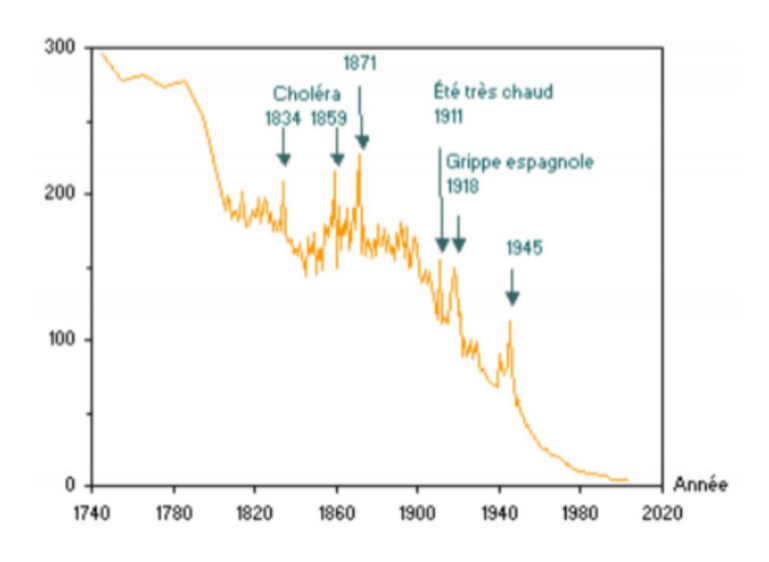
#### Un peu de théorie : risque de mortalité

✓ Les taux bruts de mortalité pour toutes générations confondues



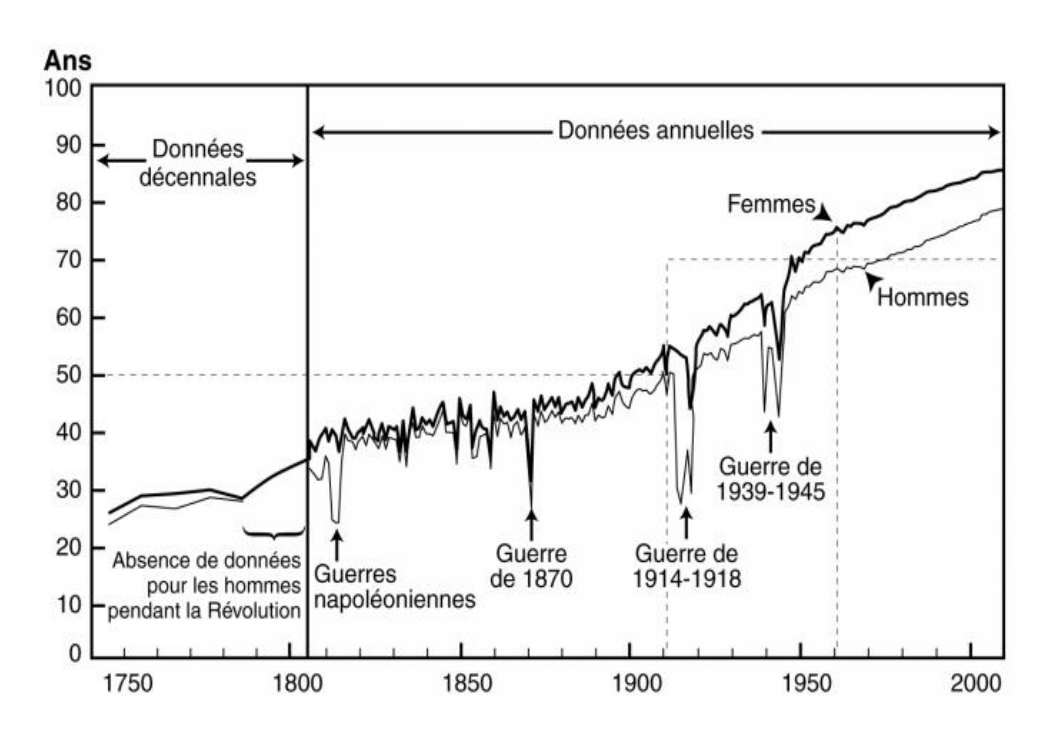
Taux bruts annuels de mortalité [ $x \rightarrow q_x = 1-exp(-\mu_x)$ ] pour la période1816-2014 des âges 0, 25, 45, 65 respectivement

Evolution de la mortalité infantile en Francede1740 à 2009 \*

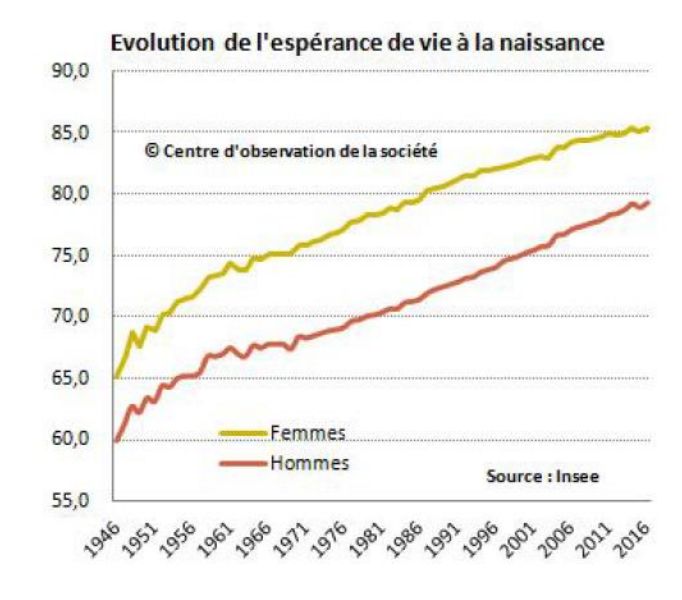


<sup>\*</sup> La figure ci-dessus (fait par Gilles Pison) illustre le nombre de la mortalité infantile sur mille, qui est l'indicateur du risque pour un nouveau-né de mourir avant son premier anniversaire

Un peu de théorie : risque de longévité



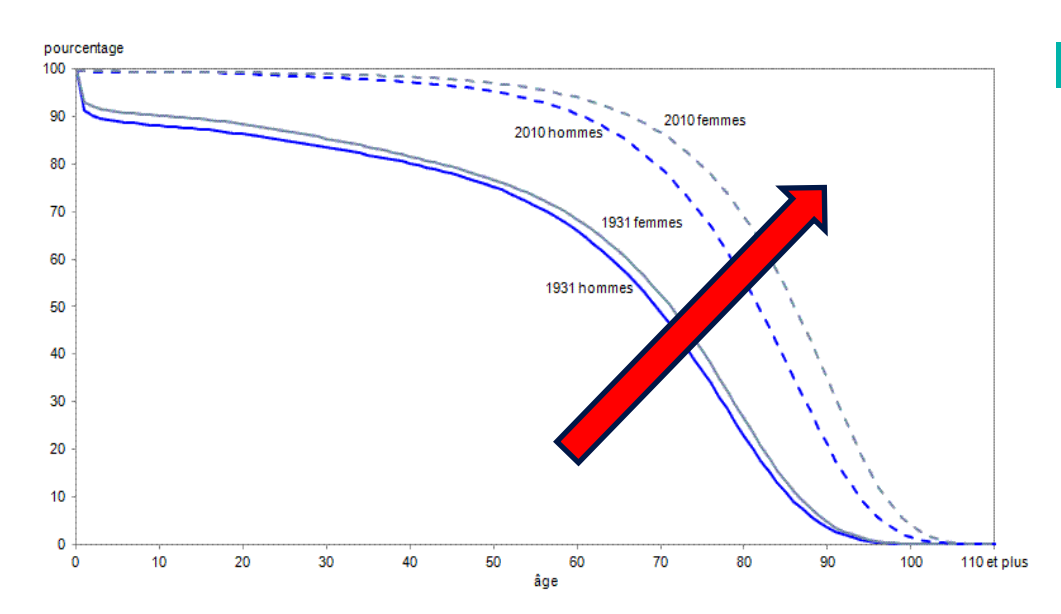
Evolution de l'espérance de vie dans la population française



#### **Observations**

- Le gain en espérance de vie au cours du XXème siècle est en grande partie dû à la baisse de la mortalité infantile
- Depuis la seconde moitié du XXème siècle, le gain en espérance de vie est dû aux progrès dans la lutte contre les maladies cardio-vasculaires et les cancers et concerne en grande partie les seniors

Un peu de théorie : risque de longévité

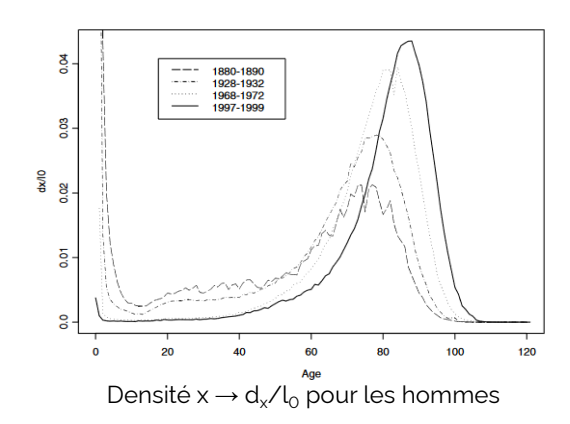


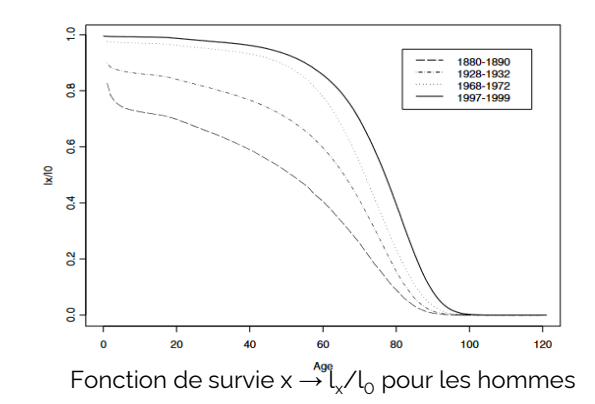
#### Phénomène de « rectangularisation » de la courbe de survie

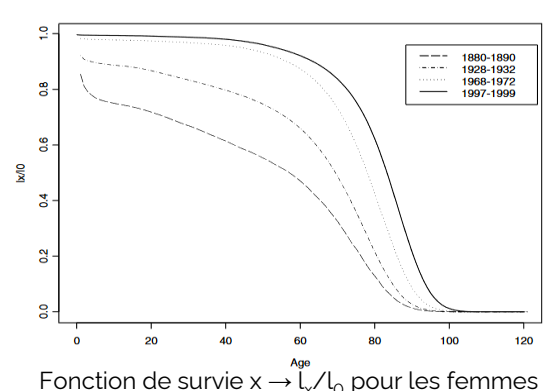
#### **Observations**

- Augmentation de la population des seniors
- Augmentation de l'espérance de vie des populations certes, mais également augmentation de la survenance des risques principalement associés à la vieillesse comme la dépendance...

#### Vieillissement de la population : « rectangularisation » des courbes de survie



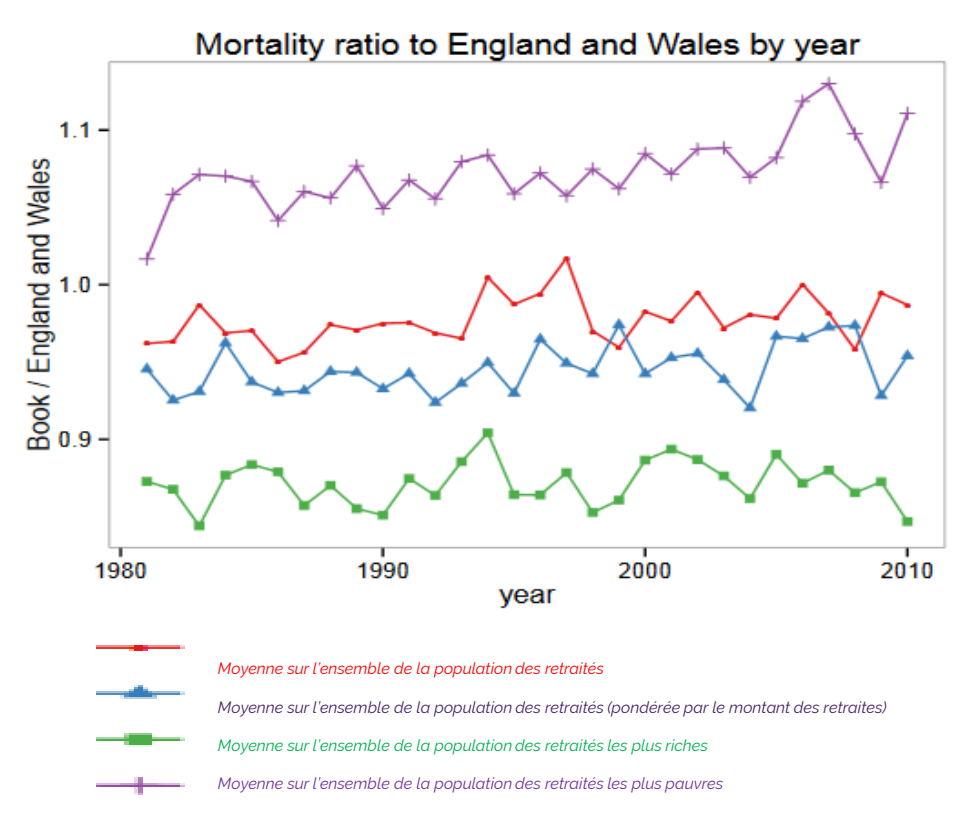




Si on observe les graphes on constate une concentration croissante autour du mode. Ceci a pour effet de "rectangulariser" la courbe de survie  $x \rightarrow_x p_0 = l_x/l_0$  (les individus vivent en grand nombre jusqu'à des âges élevés, avant de mourir.

De plus, le mode tend à se déplacer vers les âges élevés (phénomène d'expansion).

Un peu de théorie : risque de longévité

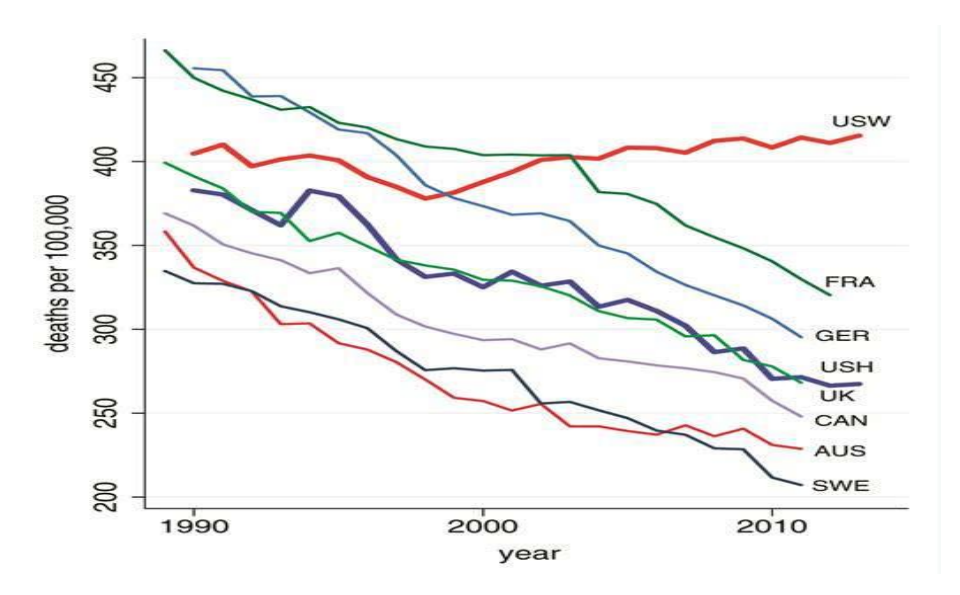


## Choix de la table de référence : le risque de base

- La gestion du risque de longévité nécessite la création de tables de mortalité générationnelles.
- La création de ces tables peut se faire sur la base des données seules (lorsque les données sont suffisantes) ou alors via un positionnement par rapport à une référence externe.
- Le risque de base est le risque lié au choix de la table de positionnement (qui peut s'avérer impactant)
- Par nature, l'analyse du risque de base repose davantage sur des jugements d'experts.

**-** 5!

#### Un peu de théorie : risque de longévité



Evolution des taux de décès pour différents pays pour les âges 45-54 ans

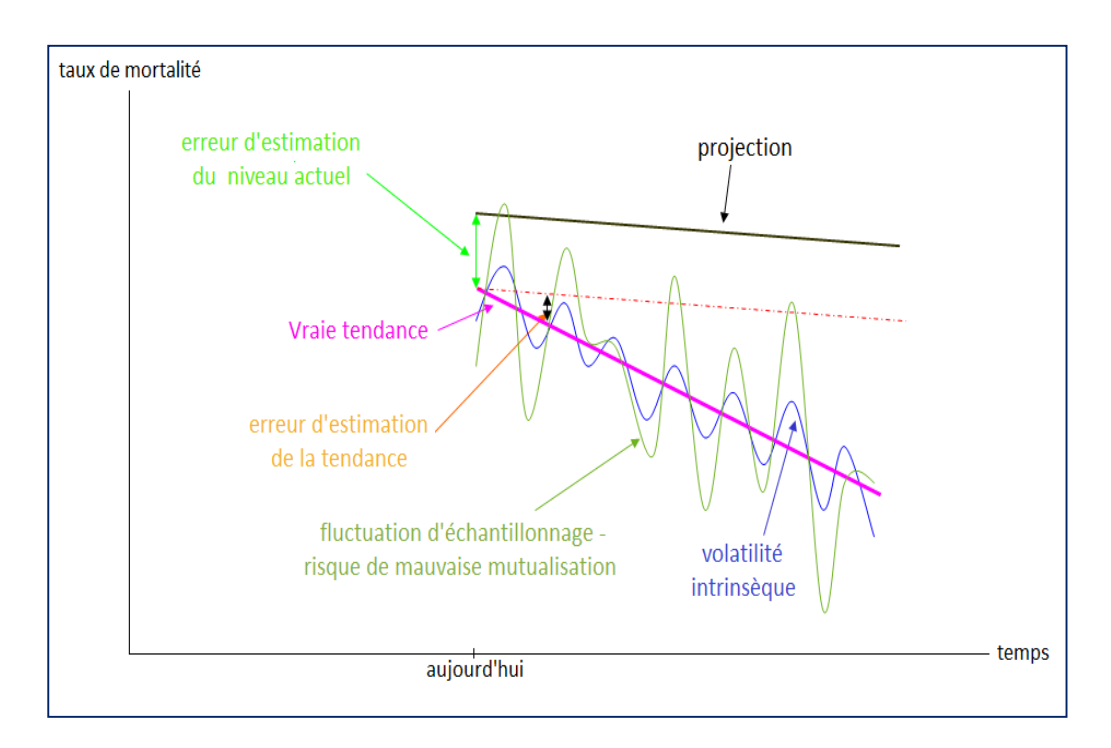


Deaton (prix nobel économie 2015) et Case

#### Inflexion de tendance et explications

- Depuis la fin des années 90, progression de la mortalité des Américains blancs non hispaniques de 45-54 ans (voir courbe rouge USW).
- Deaton et Case imputent cette hausse à l'abus d'alcool, de drogues et aux suicides, dénonçant les dérives et le mal-être d'une partie de la société américaine.

#### Les quatre composantes du risque biométrique associé à la longévité



- Le risque de niveau de mortalité à l'origine
- Le risque de tendance
- Le risque de volatilité intrinsèque
- Le risque d'échantillonnage (mauvaise mutualisation)

#### Synthèse des sources de risques

#### 4 composantes du risque biométrique associé à la longévité :

- ✓ Le risque de niveau de mortalité à l'origine
- ✓ Le risque de tendance
- ✓ Le risque de volatilité intrinsèque
- ✓ Le risque d'échantillonnage (mauvaise mutualisation)

#### Risque de base

- ✓ Les risques systématiques (modification de tendance) comme ceux de longévité et de mortalité,
- ✓ et les risques diversifiables (Taille du portefeuille n'est pas infinie, mutualisation imparfaite).

#### Risque d'incertitude des paramètres

- ✓ Les erreurs d'échantillonnage relatives aux paramètres,
- ✓ et les erreurs de prédiction des séries temporelles.

#### Risque de modèle

- ✓ Comment savoir que le modèle retenu est le bon?
- ✓ Un moyen pratique de prendre en compte le risque de modèle, c'est l'utilisation de critère, (par exemple le critère BIC) pour classifier plusieurs modèles (de longévité) pour les prévisions.

#### Risque de pandémie

#### Un peu de théorie : risque de mortalité

✓ Les données brutes permettent de calculer directement le taux instantané de mortalité

$$\mu_{x,t} = \frac{D_{x,t}}{E_{x,t}}$$

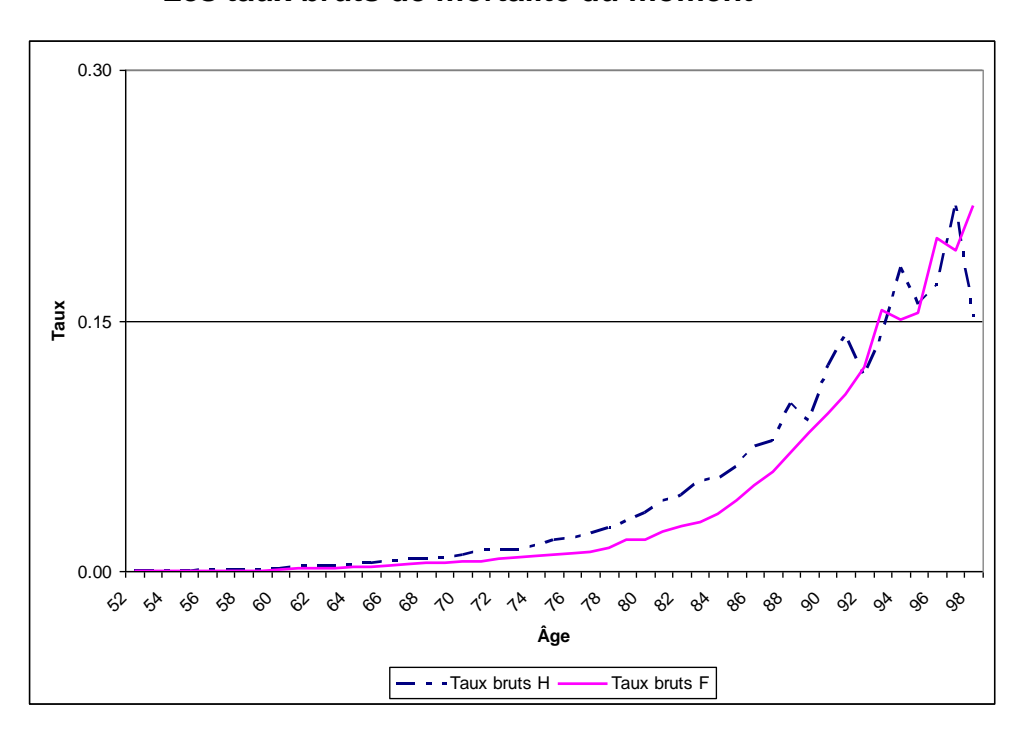
Avec : Dx,t le nombre de décès à l'âge x pendant l'année t et Ex,t le nombre des personnes exposées au risque décès (sur la même période).

✓ Ensuite, on s'intéresse au taux brut de mortalité qui est utilisé plus souvent en pratique pour déterminer le niveau d'engagements de l'assureur envers les assurés

$$q_x = 1-exp(-\mu_x)$$

#### Un peu de théorie : risque de mortalité

✓ Les taux bruts de mortalité du moment



#### Caractéristiques

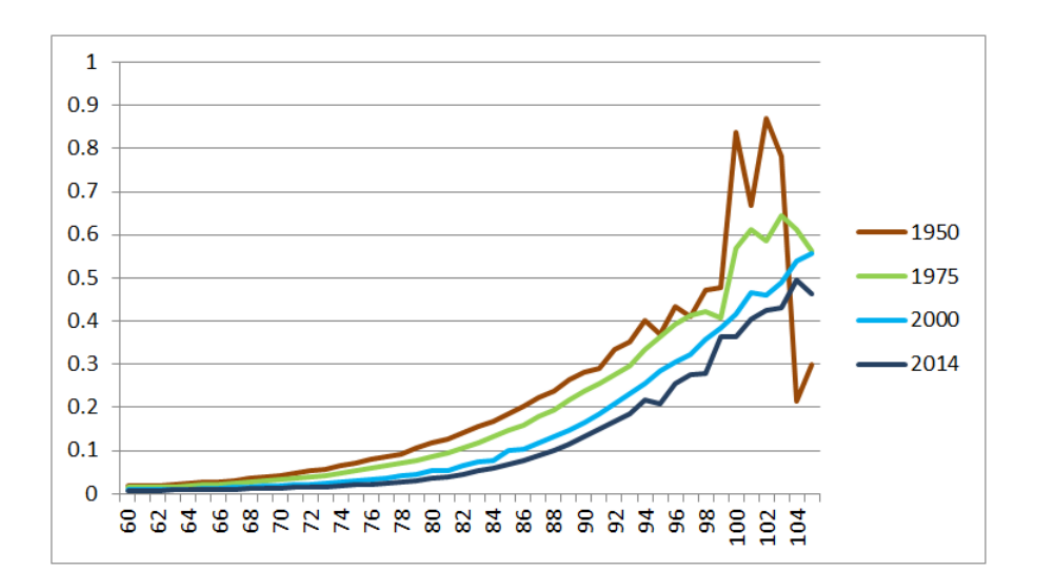
- Tables à une entrée : taux de mortalité par âge sans distinction « spécifique » des générations de naissance
- Elles peuvent être globales (ie toute la population) ou segmentées (ex : genre, CSP, ...)
- Pas d'anticipation de l'allongement probable de la durée de vie humaine

#### **Utilisations**

- Risque viager sur une période relativement courte
- Risques décès (Temporaire Décès, Vie Entière) pour lesquels l'allongement de la durée de vie est favorable à l'assureur
  - Exemples: TH0002 (table de mortalité du moment de la population masculine française) et TF0002 (table de mortalité du moment de la population féminine française)

#### Un peu de théorie : risque de longévité

✓ Illustration de la volatilité de taux bruts de mortalité (à partir de 60 ans) pour l'ensemble de la population française pour les années 1950,1975, 2000 et 2014.



Taux bruts annuels de mortalité [ $x \rightarrow q_x = 1 - exp(-\mu_x)$ ] pour quelques années calendaires sur la population française

Un peu de théorie : risque de longévité

#### ☐ Lee-Carter model (1992)

This model describes the force of mortality,  $\mu_{x,t}$  at age x and time t by three series of parameters namely  $\alpha_x$ ,  $\beta_x$  and  $\kappa_t$  as follows:

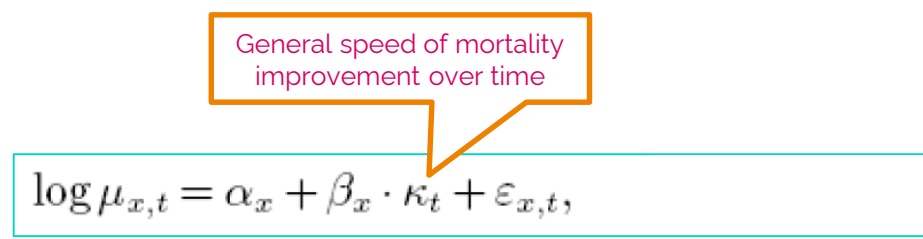
$$\log \mu_{x,t} = \alpha_x + \beta_x \cdot \kappa_t + \varepsilon_{x,t},$$

- $\alpha_x$  gives the average level of mortality at each age over time
- $\kappa_t$  is the general speed of mortality improvement over time
- $\beta_x$  is an age-specific component that characterizes the sensitivity to  $\kappa_t$  at different ages
- $\varepsilon_{x,t}$  captures the remaining variations
- + constraints on the parameters to enforce the uniqueness :  $\sum \beta_x = 1$  and  $\sum \kappa_t = 0$ .

CNP Assurances — 62

Un peu de théorie : risque de longévité

□ Lee-Carter model (1992): dynamique et détection des changements du "drift"



Let  $\{\kappa(t), t \in \mathbb{R}\}$  be the Lee-Carter time component whose dynamic satisfying:

$$d\kappa(t) = \xi s^{-\frac{1}{2}} f\left(\frac{t - t_0}{s}\right) dt + dW(t),$$

where

- $t_0 \in C \subset \mathbb{R}$ ,  $\xi$  is non-negative parameter representing the amplitude and s is a positive parameter representing the scale of the trend.
- f is a square integrable function.
- W is a Brownian motion.

#### **OBJETIVE**

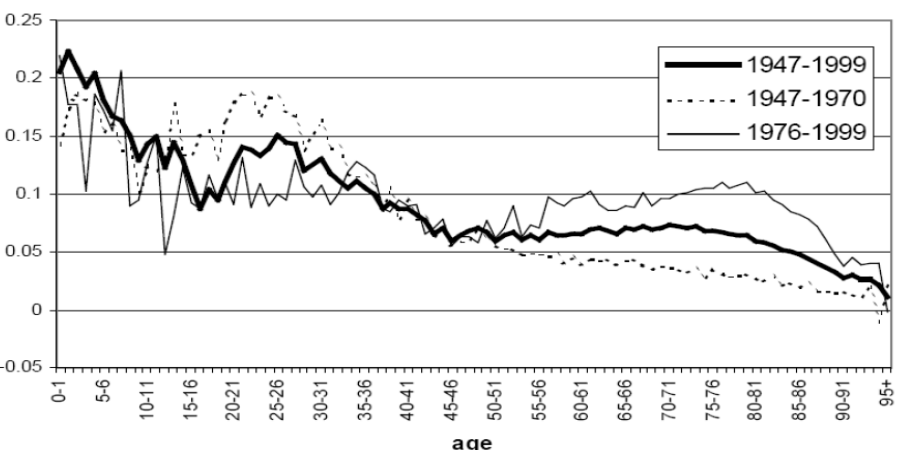
Testing the null hypothesis of no trend component:  $H_0: \xi = 0$ , against  $H_1: \xi \neq 0$ . We use the method of Siegmund and Worsley (1995).

Un peu de théorie : risque de longévité

□ Lee-Carter model (1992): dynamique de  $\beta_x$ 

$$\log \mu_{x,t} = \alpha_x + \beta_x \cdot \kappa_t + \varepsilon_{x,t},$$

<u>Figure 3.a</u>:  $\beta_x$  schedule for the entire time series 1947-1999 and two selected subsamples 1947-1970 and 1976-1999, female



Longevity improvements at different ages

Un peu de théorie : risque de longévité

☐ Cairns, Dowd and Blake (CDB) model (2006)

The general model gives the dynamic of the annual mortality rate  $q_t(x)$  at age x during the year t:

$$\operatorname{logit} q_t(x) = \kappa_t^1 \beta_x^1 \gamma_{t-x}^1 + \dots + \kappa_t^n \beta_x^n \gamma_{t-x}^n.$$

Three types of parameters

- $\beta^i$  specific to age
- $\kappa^i$  specific to calendar year
- $\bullet$   $\gamma^i$  cohort effect parameters

Un peu de théorie : risque de longévité

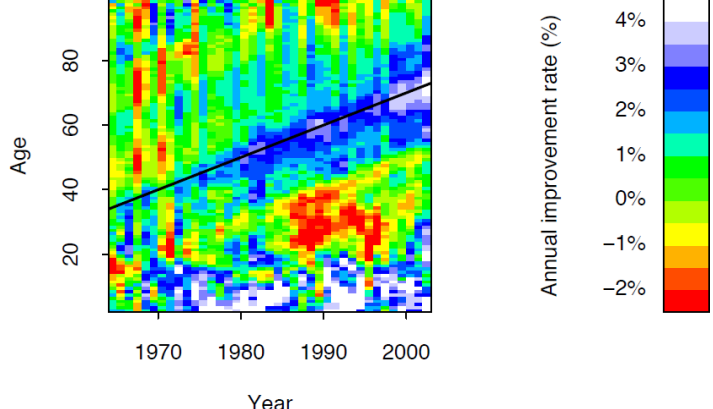
☐ Cairns, Dowd and Blake (CDB) model (2006)

#### Effet cohorte

Cohorte : ensemble d'individus ayant vécu un même événement au cours d'une même période.

⇒ Les individus d'une même cohorte vont avoir des caractéristiques démographiques similaires ("effet cohorte").

Exemple d'effet cohorte : les personnes nées entre 1925 et 1945 au Royaume-Uni présentent une amélioration de la mortalité plus rapide que les générations précédentes et suivantes.



Year Cairns et al., (2009), Effet cohorte (UK)

#### Facteurs influents:

- Impact de la seconde guerre mondiale sur la génération précédente,
- Consommation de tabac de la génération suivante,
- Rationnement en début de vie,
- Réformes sociales positives,
- Taux de fertilité liés aux caractéristiques individuelles.

 $\Rightarrow$  importance de tenir compte de facteurs extérieurs (aléatoires), et des caractéristiques individuelles dans les intensités démographiques.

-66

Un peu de théorie : risque de longévité

#### □ CDB AGE-PERIOD/COHORT (2008)

A particular example of the CDB model, featuring both the cohort effect and the age-period effect :

$$\operatorname{logit} \mathbf{q}_{x,t} = \kappa_t^1 + \kappa_t^2 (x - \bar{x}) + \kappa_t^3 \left( (x - \bar{x})^2 - \sigma_x^2 \right) + \gamma_{t-x},$$

- $\bar{x} = \frac{\sum_{x=x_0}^{x_n} x}{x_n x_0 + 1}$  is the mean age of the historical mortality rates,
- $\sigma^2$  is the standard deviation of ages, equal to  $\frac{\sum_{x=x_0}^{x_n}(x-\bar{x})}{x_n-x_0+1}$ ,
- $\kappa_t^1$ ,  $\kappa_t^2$  and  $\kappa_t^3$  correspond respectively to the general mortality improvement over time, the specific improvement for every age and the age-period related coefficient,
- $\gamma_{t-x}$  represents the cohort-effect component.

Un peu de théorie : risque de longévité

□ Table prospective (générationnelle)

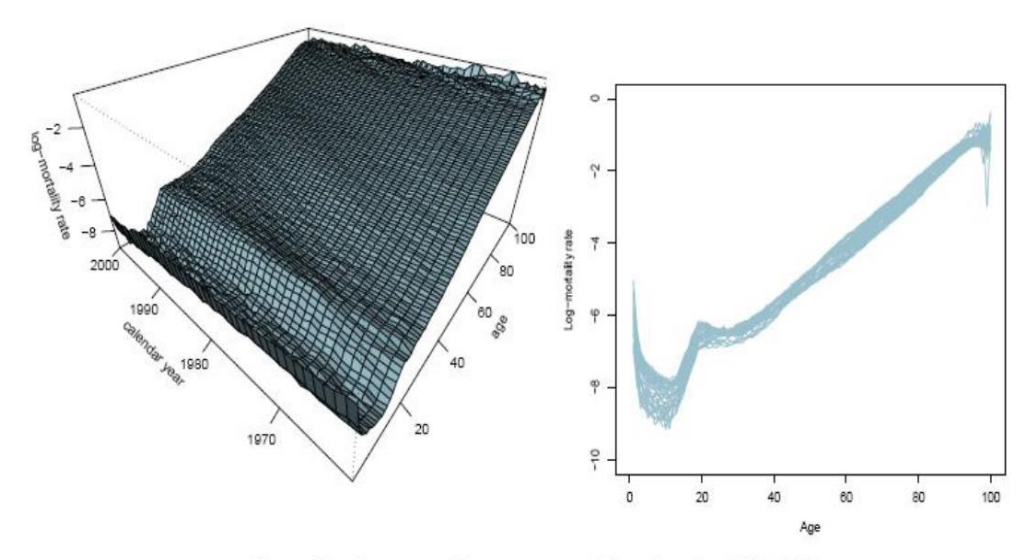


Figure 4 Log-mortality structure of French male, 1962-2000

#### Caractéristiques

- Tables à deux entrées : probabilité de décéder par l'âge et le temps suivant l'année calendaire ou la génération de naissance
- Elles peuvent être globales (ie toute la population) ou segmentées (ex : genre, CSP, ...)
- Intègrent une certaine anticipation de l'allongement probable de la durée de vie humaine.

#### **Utilisations**

- Risque viager sur une période longue
- Risques pour lesquels l'allongement de la durée de vie représente un danger (ex : contrats de rentiers, dépendance...)
- TGH05 TGF05 (tables nationales françaises: G pour générationnelle, H pour homme et F pour femme),
- TPRV93 (ancienne table prospective avec prise en compte de l'allongement de l'espérance de vie par décalage d'âge)

Un peu de théorie : risque de longévité

■ Evolution d'un portefeuille de rentiers

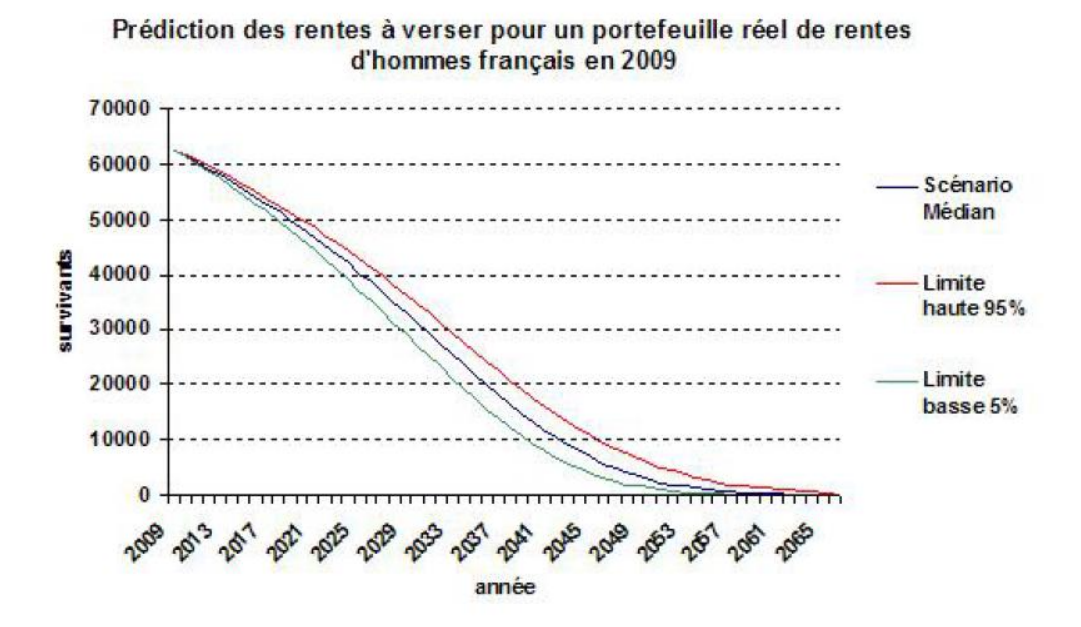


FIGURE: Survival extreme scenarii of policyholders

Un peu de théorie : risque de longévité

- Evolution d'un portefeuille de rentiers
- Le **risque de niveau** de mortalité à l'origine
  - √ Taux de mortalité actuel du portefeuille, déterminé au vu de l'expérience
  - ✓ Répercussion constante dans le temps d'une erreur d'estimation du niveau de mortalité
- Le risque de tendance
  - √ Tendance = évolution prévue de la mortalité dans le temps, depuis le niveau à l'origine
  - ✓ Répercussion croissante dans le temps d'une erreur d'estimation de la tendance
- Le risque de volatilité intrinsèque
  - √ Oscillations « naturelles » de la mortalité autour de la tendance
  - ✓ Peut être occasionnée par des phénomènes d'épidémies ou de canicules par exemple
- Le risque d'échantillonnage (mauvaise mutualisation)
  - √ Rend compte de la volatilité de la mortalité liée à la taille et l'hétérogénéité du portefeuille

Risque diversifiable

Risque non diversifiable

Risque non diversifiable

Risque diversifiable

#### **Pratiques et exploitations**

- ☐ Cadre règlementaire sur l'utilisation des tables de décès
  - Les tables nationales (TF, TH, TGF, TGH)
  - Les tables de mortalité d'expérience du moment ou prospectives
    - ✓ Utilisation possible depuis 1993
    - ✓ Elles permettent d'appréhender un comportement de la population assurée qui serait significativement différent de celui des tables règlementaires (anti sélection) et donc de refléter le risque réel du portefeuille
    - ✓ Les 3 conditions pour pouvoir utiliser une table de mortalité d'expérience :
      - 1 Construction de la table de mortalité d'expérience
      - 2. Certification par un actuaire indépendant agréé par l'IA (la table certifiée doit permettre la constitution de provisions suffisantes et prudentes)
      - 3. Suivi annuel pour s'assurer que la table peut toujours être utilisée (utilisation limitée à 5 ans maximum)

#### **Pratiques et exploitations**

- ☐ Cadre règlementaire sur l'utilisation des tables de décès
  - Les tables de mortalité dites « Best Estimate » du moment ou prospectives
    - √ Tables utilisées pour les calculs de provisions dans différentes normes comptables ou prudentielles :
      - 1 MCEV © (Market Consistent Embedded Value )
      - 2. IFRS (International Financial Reporting Standards )
      - 3. Solvabilité 2 (calculs de provisions best estimate)
    - ✓ Utilisation pour:
      - suivi des risques,
      - 2. Prévisions
      - études de tarification
      - 4. et rentabilité (business plan)

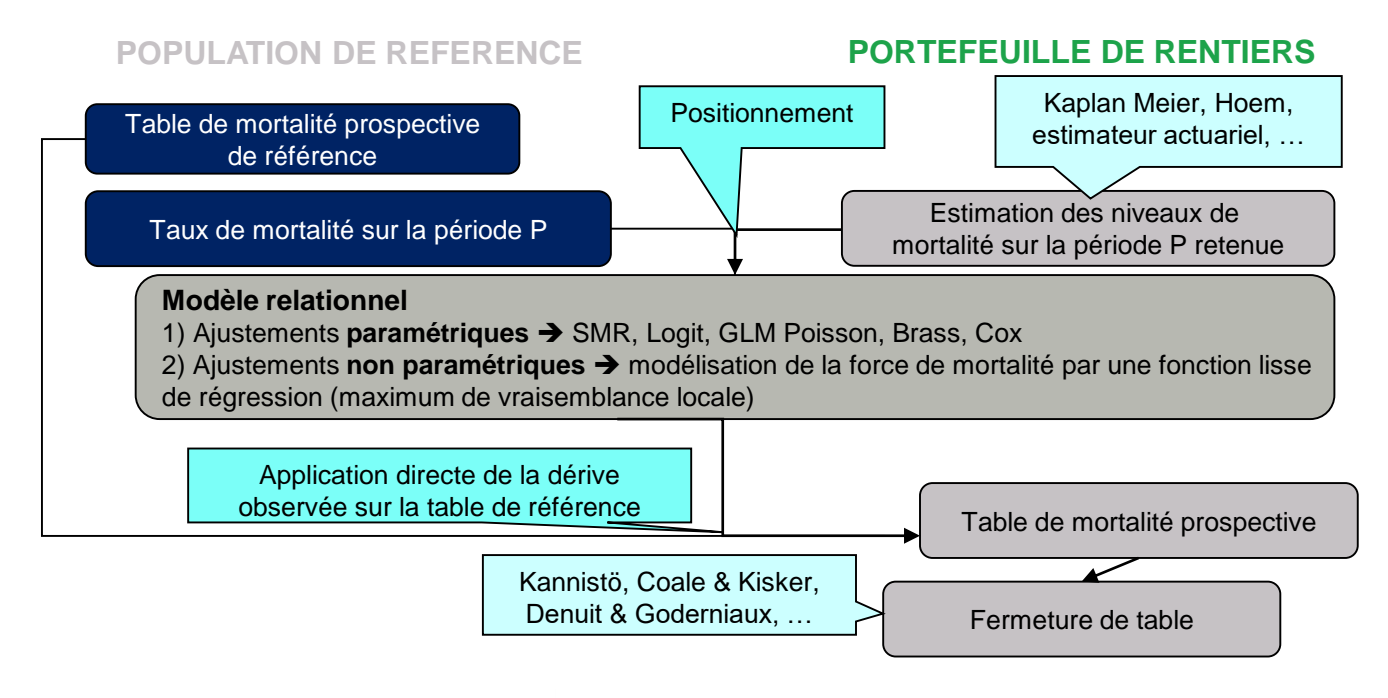
- CNP Assurances — 72

- ☐ Démarche de construction d'une table d'expérience générationnelle
  - Variables requises pour le calibrage des lois de longévité
    - ✓ Les données sont généralement issues des systèmes de gestion opérante (complétées par des données archivées)
    - ✓ Les principales données requises pour construire une table de mortalité d'expérience sont :
      - Identifiant
      - Date de naissance
      - Statut
      - Date d'entrée dans le portefeuille
      - Date de sortie du portéfeuille
      - Code de sortie
    - ✓ Les informations complémentaires intéressantes pour réaliser une segmentation plus fine sont :
      - Sexe
      - Situation familiale
      - CSP
      - Montant de la garantie
      - .

- ☐ Démarche de construction d'une table d'expérience générationnelle
  - Quelques statistiques de base et indicateurs de suivi du risque:
    - ✓ Introduction de deux indicateurs fondamentaux:
      - Nombre de décès
      - Exposition
    - ✓ Synthèse des statistiques à réaliser :
      - Analyse globale :
        - Volumétrie de la base (avant et après retraitements)
        - Volume des expositions
        - Volume des décès
      - Analyse des expositions et des décès :
        - Par âge
        - Par année (période d'observation)
      - Indicateurs complémentaires :
        - Sex ratio (exposition Femme/exposition totale)
        - Age moyen au décès
        - Age moyen des exposés

- ☐ Démarche de construction d'une table d'expérience générationnelle
  - Présentation des choix méthodologiques:
    - ✓ Etapes d'estimation et de modélisation : de nombreux modèles de construction de tables de mortalité prospectives ont fait leur preuve
      - Lee Carter,
      - Log Poisson bilinéaire,
      - Cairns Blake Dowd (CBD).
      - Application de la dérive de mortalité
      - ٠.
    - ✓ Méthodes de positionnement, une bonne alternative...:
      - En général, les historiques d'observation et volumes de données de nos portefeuilles ne permettent pas une application directe de ces modèles théoriques, d'où le recours à des méthodes de positionnement.

- ☐ Démarche de construction d'une table d'expérience générationnelle
  - Méthodes de positionnement:



#### **Pratiques et exploitations**

- ☐ Démarche de construction d'une table d'expérience générationnelle
  - Méthodes de positionnement : SMR (1 paramètre)

#### **Principe**

 Approche qui consiste à déterminer un coefficient d'abattement ou de majoration, le SMR, et à l'appliquer aux taux de décès d'une table de référence.

$$\widetilde{q}_x(t) = \text{SMR} \times q_x^{\text{réf}}(t) \quad \text{avec} \quad \text{SMR} = \frac{\sum_{(x^*, t^*)} D_{x^*, t^*}}{\sum_{(x^*, t^*)} E_{x^*, t^*} \times q_{x^*}^{\text{réf}}(t^*)},$$

#### **Avantages**

- · Simplicité
- · Globalement très adéquate

#### Inconvénients

- Localement inadéquate
- Paramètre indépendant de l'âge x et de l'année calendaire t
- Sensibilité à la table de référence choisie

CNP Assurances 77

#### **Pratiques et exploitations**

- ☐ Démarche de construction d'une table d'expérience générationnelle
  - Méthodes de positionnement : Modèle relationnel (2 paramètres)

#### **Principe**

- Approche qui consiste à effectuer une régression linéaire sur les taux bruts.
- Afin d'éviter la problématique liée au fait que les taux doivent être compris entre 0 et 1, cette régression s'effectue après application de la fonction logit sur nos taux.

logit 
$$\widetilde{q}_{x^*}(t^*) = \alpha + \beta \text{ logit } q_{x^*}^{\text{réf}}(t^*) + \epsilon_{x^*,t^*}.$$

#### **Avantages**

- Simplicité
- · Inclut de la prudence dans le cas du risque de longévité

#### Inconvénients

- Paramètres indépendants de l'âge x et de l'année calendaire t
- Sensibilité à la table de référence choisie

#### **Pratiques et exploitations**

- ☐ Démarche de construction d'une table d'expérience générationnelle
  - Méthodes de positionnement : Modèle linéaire généralisé de Poisson incluant des interactions avec l'âge et l'année calendaire

#### **Principe**

- Approche qui utilise le cadre des GLM (modèle de Poisson) où la référence de mortalité est une variable explicative.
- Ce modèle inclut des interactions avec l'âge x et l'année calendaire t.

$$D_{x^*, t^*} \sim \mathcal{P}\left(E_{x^*, t^*} \; \mu_{x^*}(t^*)\right),$$
avec 
$$\mu_{x^*}(t^*) = \beta_0 + \beta_1 \log q_{x^*}^{\text{réf}}(t^*) + \beta_2 \; x^* + \beta_3 \; t^* + \beta_4 \; x^* \; t^*,$$

#### **Avantages**

Interactions avec l'âge x et l'année calendaire t

#### Inconvénients

- Hypothèses supplémentaires (mortalité constante)
- Sensibilité à la table de référence choisie

#### **Pratiques et exploitations**

- ☐ Démarche de construction d'une table d'expérience générationnelle
  - Méthodes de positionnement : Lissage non-paramétrique de la table du moment et application d'une dérive de la mortalité

#### **Principe**

 Approche qui consiste à venir lisser les taux bruts de manière non paramétrique puis à appliquer la dérive de mortalité issue d'une table de référence.

$$D_x \sim \mathcal{P}\left(E_x \ q_x^{\text{réf}} \ \exp(f(x))\right)$$

#### **Avantages**

- · Lissage non paramétrique
- Pas de relation imposée entre les taux bruts et les taux de la table de référence

#### Inconvénients

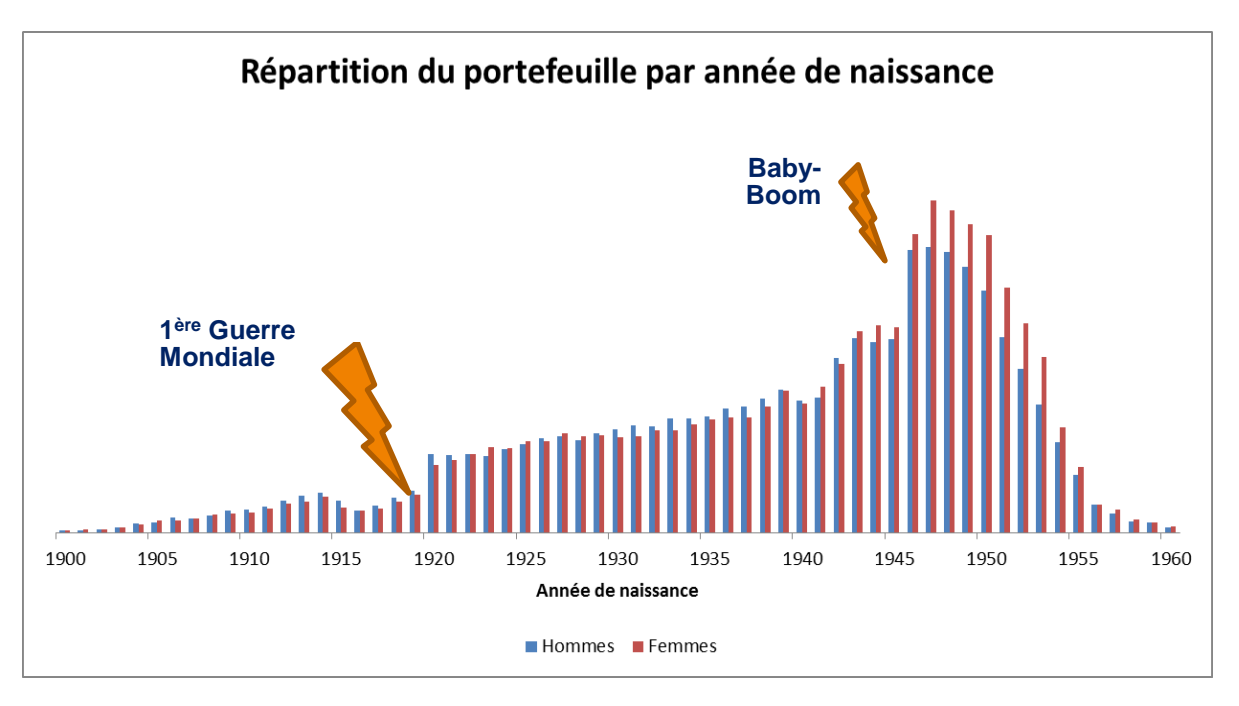
- · Plus complexe
- Sensibilité à la table de référence choisie

# **Comparaison des méthodes**

Méthode	SMR (1 paramètre)	Modèle relationnel (2 paramètres)	Modèle linéaire généralisé de Poisson incluant des interactions avec l'âge et l'année calendaire	Lissage non- paramétrique de la table du moment et application d'une dérive de la mortalité
Principe	Approche qui consiste à déterminer un coefficient d'abattement ou de majoration, le SMR, et à l'appliquer aux taux de décès d'une table de référence.	effectuer une regression linéaire sur les taux bruts.  Afin d'éviter la problématique liée au fait que les taux doivent être compris entre 0 et 1, cette régression s'effectue après	Approche qui utilise le cadre des GLM (modèle de Poisson) où la référence de mortalité est une variable explicative.  Ce modèle inclut des interactions avec l'âge x et l'année calendaire t.	Approche qui consiste à venir lisser les taux bruts de manière non paramétrique puis à appliquer la dérive de mortalité issue d'une table de référence.
Formule mathématique	$\widetilde{q}_x(t) = \mathrm{SMR} \times q_x^{\mathrm{ref}}(t)  \mathrm{avec}  \mathrm{SMR} = \frac{\sum_{(x^*,t^*)} D_{x^*,t^*}}{\sum_{(x^*,t^*)} E_{x^*,t^*} \times q_x^{\mathrm{ref}}(t^*)},$	$\operatorname{logit} \widetilde{q}_{x^*}(t^*) = \alpha + \beta \operatorname{logit} q_{x^*}^{\operatorname{réf}}(t^*) + \epsilon_{x^*,t^*}.$	$\begin{split} &D_{z^*,t^*} \sim \mathcal{P}\left(E_{z^*,t^*}  \mu_{x^*}(t^*)\right), \\ &\text{avec}  &\mu_{x^*}(t^*) = \beta_0 + \beta_1 \log q_{z^*}^{til}(t^*) + \beta_2  x^* + \beta_3  t^* + \beta_4  x^*  t^*, \end{split}$	$D_x \sim \mathcal{P}\left(E_x \ q_x^{\text{ref}} \ \exp(f(x))\right)$
Avantages	Simplicité  2) Globalement très adéquate	Simplicité  2) Inclut de la prudence dans le cas du risque de longévité	Interactions avec l'âge x et l'année calendaire t	Lissage non paramétrique  → pas de relation imposée entre les taux bruts et les taux de la table de référence
Inconvénients	Localement inadéquate     Paramètre indépendant de l'âge x et de l'année calendaire     Sensibilité à la table de référènce choisie	Paramètres indépendants de l'âge x et de l'année calendaire t     Sensibilité à la table de référence choisie	1) Hypothèses supplémentaires (mortalité constante) 2) Sensibilité à la table de référence choisie	Complexité     Sensibilité à la table de référence choisie

CNP Assurances —

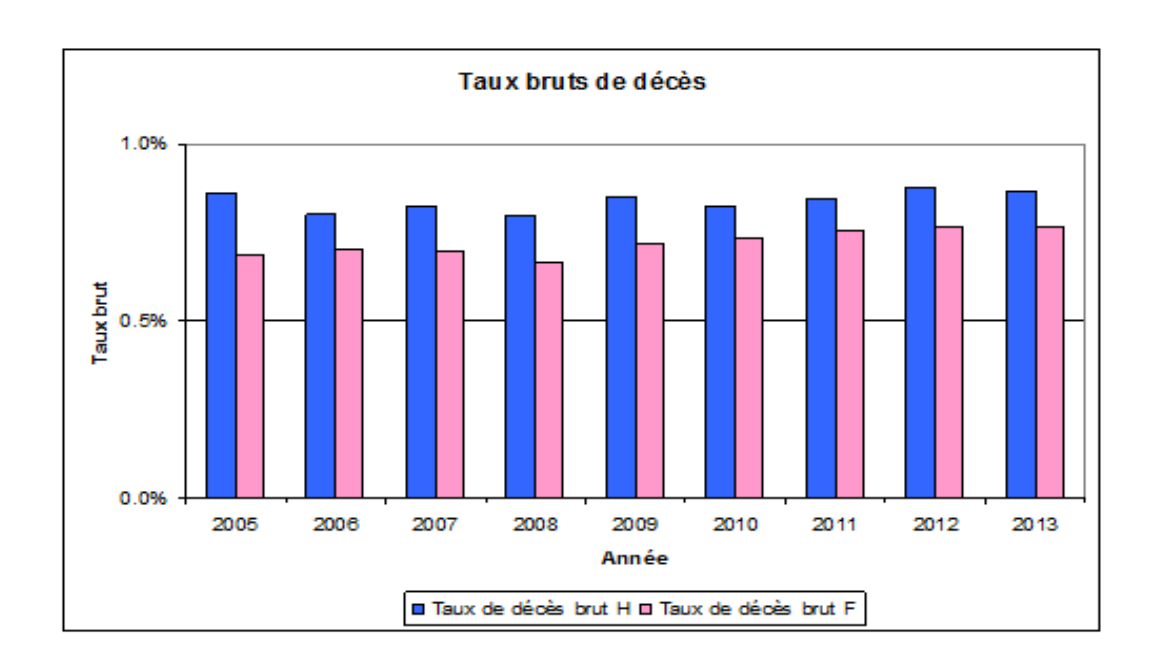
#### **Evolution temporelle des expositions**



#### **Constat**

 Répartition du portefeuille par année de naissance est cohérente avec la structure de la population nationale

#### Evolution temporelle des taux bruts de décès



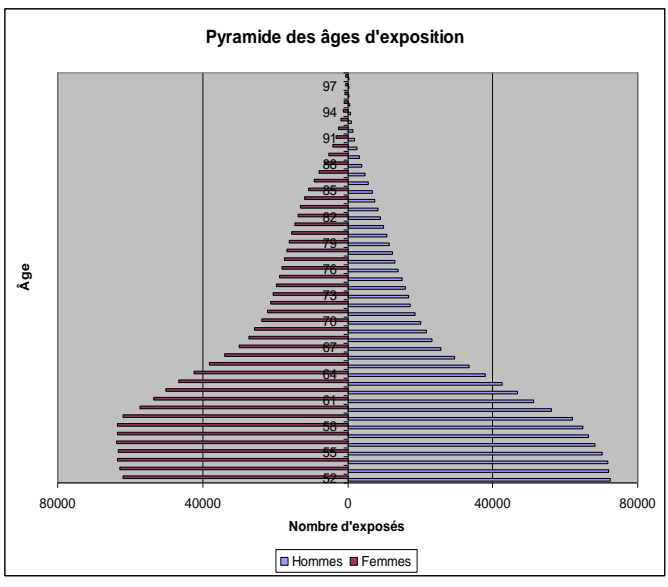
#### **Constat**

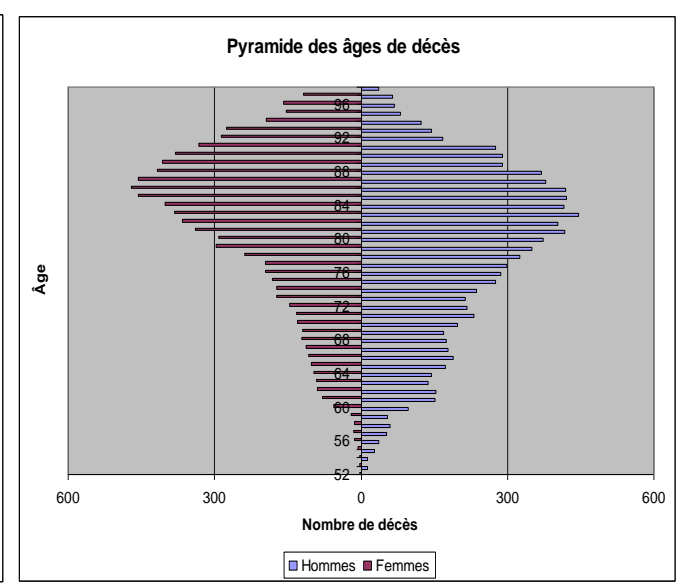
 Les taux de décès bruts sont compris entre 0,5% et 0,85% sur la période d'observation

#### Choix

 Les hommes présentent des taux moyens plus élevés que les femmes, ce résultat étant logique au vu des précédents graphes présentés

#### Indicateurs de sinistralité observée





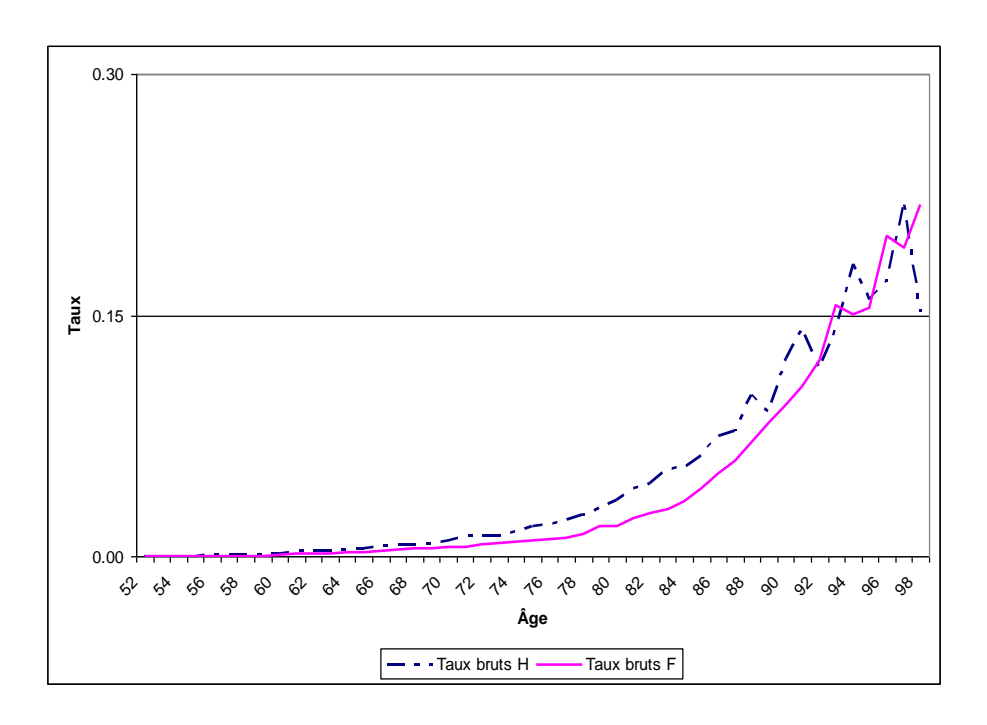
#### Constat

- L'exposition des hommes avant 60 ans est supérieure à celle des femmes. Inversion de tendance après 60 ans.
- L'âge du pic de décès des hommes est plus faible que celui des femmes (83 ans vs 86 ans soit 3 ans de différence)

#### Choix

 Table de référence : les données nationales comme référence (potentiellement pertinentes!)

#### Estimation des taux bruts et lissages



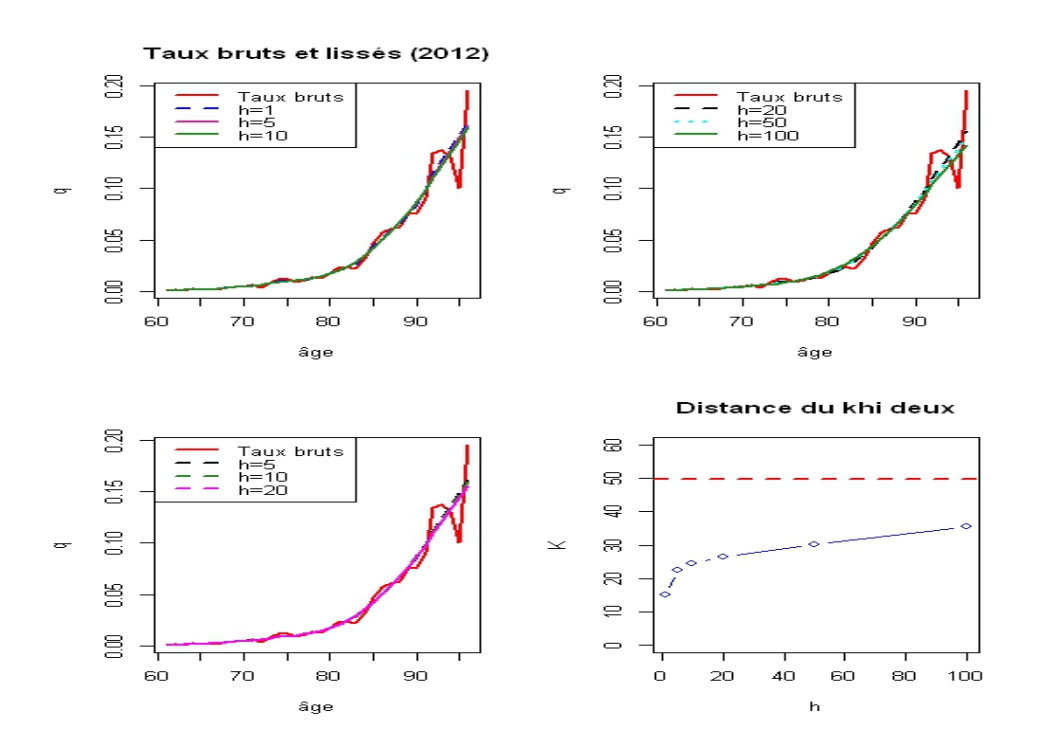
#### Méthode

Taux bruts (Kaplan Meir)

#### Conclusion

 Les hommes présentent des taux moyens plus élevés que les femmes (résultat cohérent avec les indicateurs et logique au vu des précédents graphes présentés)

#### Estimation des taux bruts et lissages

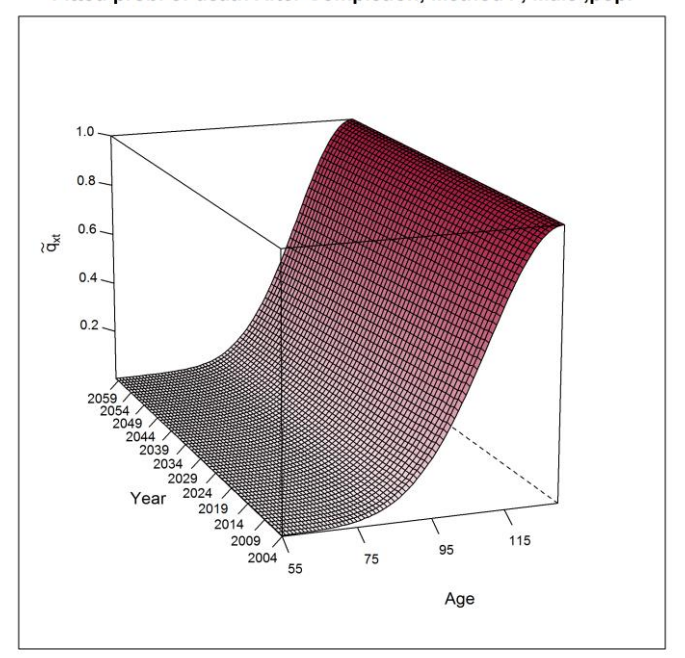


#### Méthodes

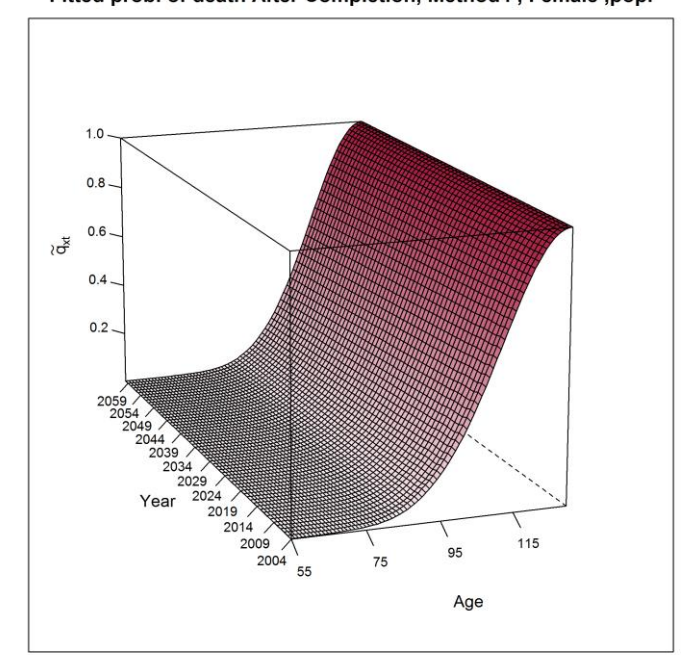
• Lissage (Whittaker-Henderson)

#### Table générationnelle Best Estimate

Fitted prob. of death After Completion, Method4, Male, pop.



Fitted prob. of death After Completion, Method4, Female, pop.

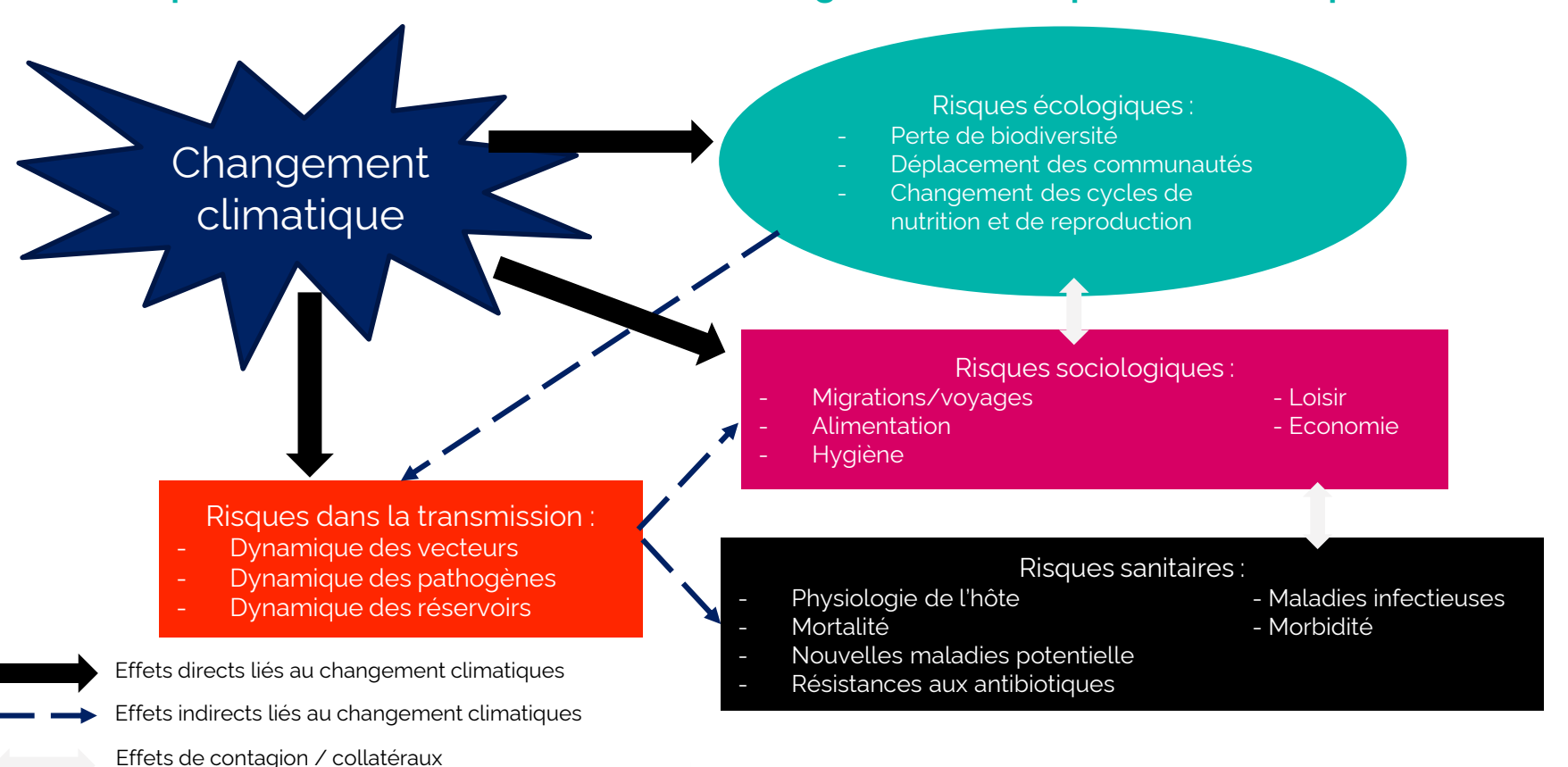


#### **Choix Méthode 4**

 Lissage non-paramétrique de la table du moment et application d'une dérive de la mortalité.

CNP Assurances 8

Liens complexes (direct et/ou indirect) entre changement climatique et autres risques

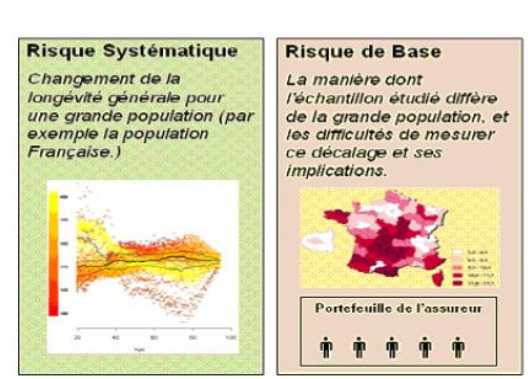


#### Contexte de l'étude sur la mortalité

- Le risque de mortalité est par définition, le risque lié à l'incertitude sur l'évolution des taux de mortalité.
  - ✓ C'est le risque de voir un individu vivre moins longtemps que prévu, et donc pour ce qui est d'une compagnie d'assurance vie de devoir faire face à une oscillation des engagements estimés.
- Le risque de mortalité se structure en trois composantes :
  - ✓ le risque systématique,
  - ✓ le risque de base,
  - ✓ et le risque idiosyncratique : parmi les facteurs d'incidence de ce risque figure notamment les impacts du dérèglement climatique, en lien avec l'occurrence de températures extrême

**CNP** Assurances







#### **Cadre et objectifs**

- Objectif: utiliser des données climatiques dans les modèles de projection de la mortalité/longévité
- Applications aux zones: France, Brésil, Italie,...
- Innovation : intégration de l'effet « changement climatique » dans les modèles de mortalité

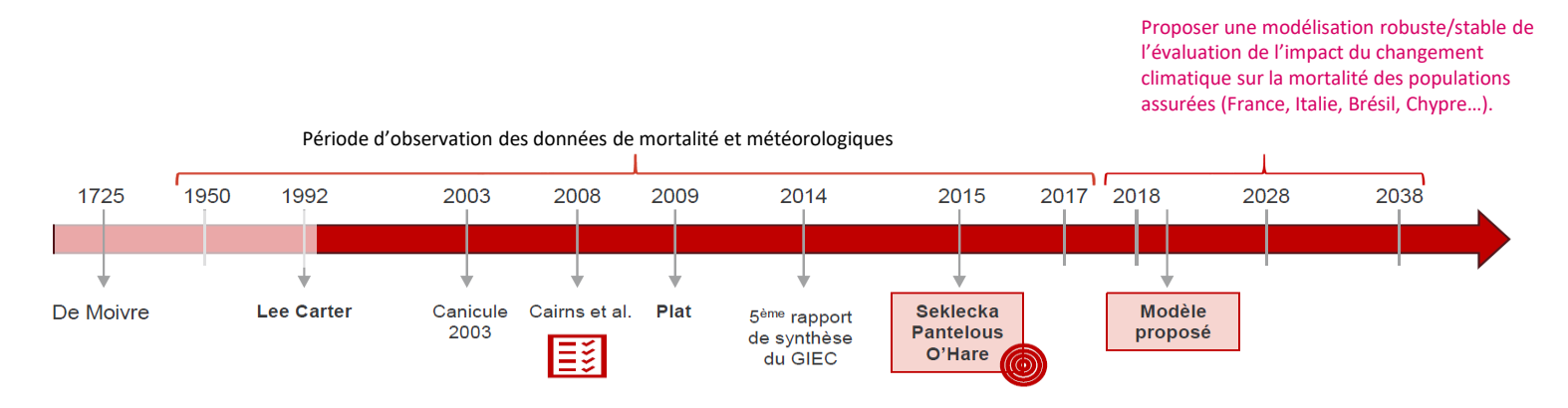


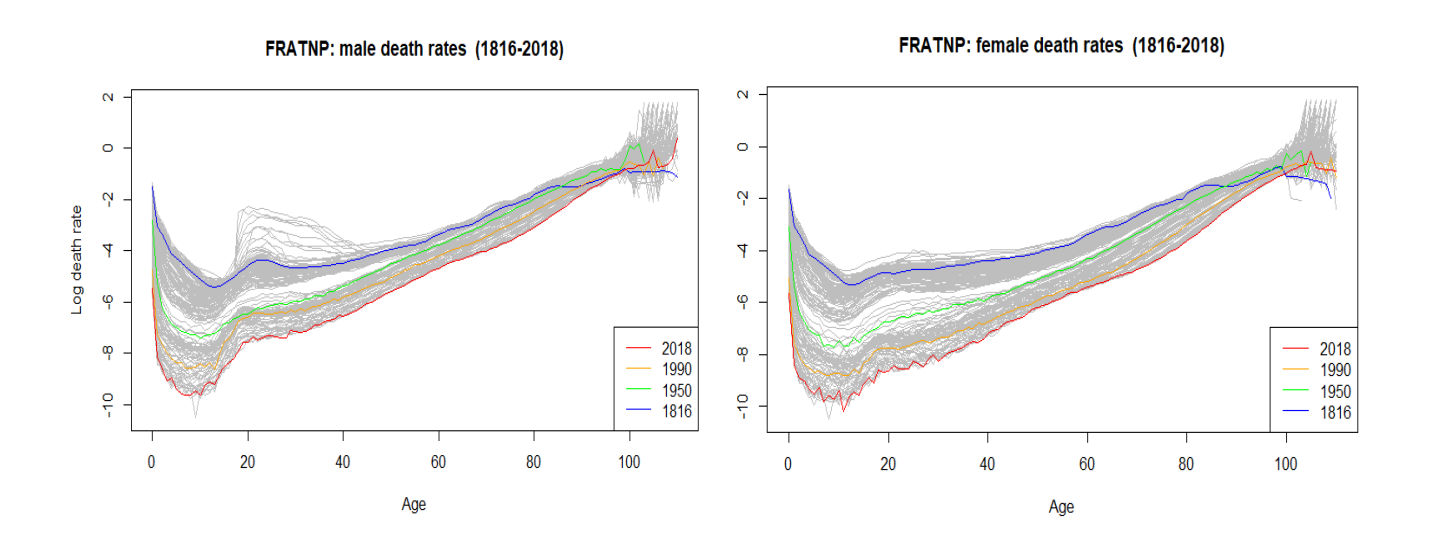
Figure 1 : Evolution des modèles de mortalité

#### Données et outils de modélisation

- Base de données sur la mortalité : Human Mortality Database (https://www.mortality.org/)
- Données météorologiques : Goddard Institute for Space Studies (data.giss.nasa.gov/gistemp/).
- Package R pour récupérer les données : library (demography)
- Logiciel statistique: R CORE TEAM (2018) intégrant le package StMoMo, pour « Stochastic Mortality Modelling », publié par ANDRES VILLEGAS ET AL (2017).
- Historique de données mise à jour CNP Assurances: 1816 2018 (vs 2017 dans l'étude initiale)
- Historique de calibrage : 1950 à 2018
- **Données** : Le taux de mortalité de la France selon âge et année (Homme et Femme)
- **Tranche d'âge** : 0 à 100
- Critère (valeur minimale) de sélection du meilleur modèle (stochastique) : Akaike Information criterion (AIC) et Bayesian Information Criterion (BIC)

#### Analyse des résultats avant intégration des effets liés au changement climatique

- Même si l'on constate des évolutions différentes de la mortalité par âge suivant le critère du genre (Homme et Femme), la tendance reste à la baisse avec le temps depuis 1816.
- Le choix de la période de calibrage à partir de 1950 permet d'exclure les périodes des grandes guerres afin de ne pas biaiser les estimations



#### Analyse des résultats avant intégration des effets liés au changement climatique

• Choix du meilleur modèle suivant les critères AIC et BIC (comparaison avec l'étude initiale)

Résultat étude période initiale (1950-2017) :								
HOMME				FEMME				
Modèle	LC	APC	PLAT	OAL	LC	APC	PLAT	OAL
AIC	130618	167553	93775	91329	98334	130406	82089	91411
BIC	132 450			94 521	100166	132 689	85 281	94603
Résultat étude CNP sur la période initiale (1950 -2017):								
НОММЕ					FEMME			
Modèle	LC	APC	PLAT	OAL	LC	APC	PLAT	OAL
AIC	130579	167063	93679	91251	99188	128577	81749	91140
Taux de similitude de l'AIC avec étude initiale	99,97%	99,7%	99,90%	99,91%	99,1%	98,60%	99,59%	99,7%
BIC	132411	169345	96871	94442	101019	130860	84940	94332
Taux de ressemblance de BIC avec étude initiale	99,97%				99,2%	98,62%	99,60%	99,7%
Résultat étude CNP sur la nouvelle période (1950-2018) :								
HOMME					FEMME			
Modèle	LC	APC	PLAT	OAL	LC	APC	PLAT	OAL
AIC	133676	171326	95147	92635	101666	132189	83126	92856
Taux de ressemblance de l'AIC avec étude initiale	97,71%	97,80%	98,56%	98,59%	96,7%	98,65%	98,75%	98,4%
BIC	135518	173627	98373	95861	103508	134489	86352	96082
Taux de ressemblance de BIC avec étude initiale	97,74%	97,82%	98,57%	98,60%	96,8%	98,66%	98,76%	98,5%

Tableau 1 : choix des modèles sur la période initiale (1950-2017) et sur la nouvelle période (1950-2018)

#### Analyse des résultats avant intégration des effets liés au changement climatique

- Après comparaison avec l'étude initiale, nous avons vérifié les résultats des calculs puis les avons estimés à l'aide de trois nouveaux modèles (RH, CBD et M7) de 1950 à 2018.
- A partir des résultats dans le tableau 2 (ci-dessous) :
  - ✓ Nous retenons le modèle OAL pour les hommes (comme pour l'étude initiale).
  - ✓ Pour les femmes, nous avons observé que la valeur d'AIC et BIC du modèle RH sont inférieurs à celles du modèle PLAT. Les résultats sont très proches et nous retenons les modèles RH et PLAT pour l'étape de projections des résultats.

	Résultat étude CNP sur l	a périodo	e initiale	(1950-2017	):			
НОММЕ								
Modèle	LC	APC		OAL	RH	CBD	M7	
AIC	130579	167063	93679	91250	98056	3909117	1689794	
BIC	132411	169345	96871	94 442	101029	3910047	1692316	
		FEMME						
Modèle	LC	APC		OAL	RH	CBD	M7	
AIC	99187	128577	81748	91140				
BIC	101019	130860	84 940	94332	79 632	4234215	1181488	
Résultat étude CNP sur la nouvelle période (1950-2018) :								
		HOMME						
Modèle	LC	APC	PLAT	OAL	RH	CBD	M7	
AIC	133676	171326	95147	92635	99749	3929821	1697968	
BIC	135518	173627	98373	95 861	102742	3930767	1700522	
FEMME								
Modèle	LC	APC	PLAT	OAL	RH	CBD	M7	
AIC	101666	132189	83126	92856	77639	4261650	1185471	
BIC	103508	134489	86 352	96082	80 633	4262595	1188026	

Tableau 2 : Trois nouveaux modèles / sélection des modèles basés sur les normes AIC et BIC

#### Analyse des résultats avant intégration des effets liés au changement climatique

- Validation des modèles sur projection de long terme (projection sur 30 prochaines années):
  - ✓ Nous validons le modèle OAL pour les hommes (comme pour l'étude initiale).
  - ✓ Nous rejetons le modèle RH et validons le modèle PLAT pour les femmes (comme pour l'étude initiale).

# Projection de la mortalité des hommes sur 30 ans pour différents groupes d'âges

Figure 21 : Le **modèle OAL** pour prédire le taux de mortalité des **hommes** sur 30 ans (2018-2048) pour différents groupes d'âges

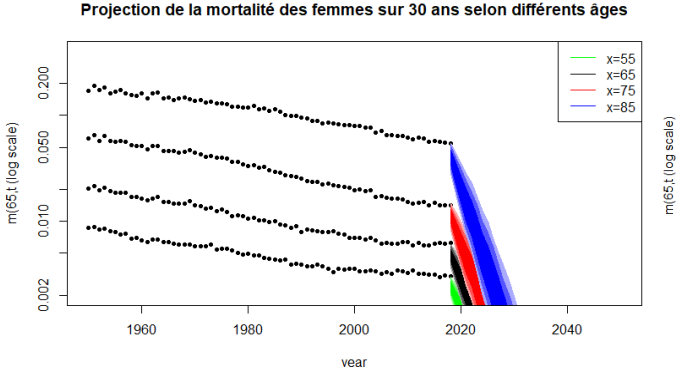


Figure 22 : Le **modèle RH** pour prédire le taux de mortalité des **femmes** sur 30 ans (2018 - 2048) pour différents groupes d'âges

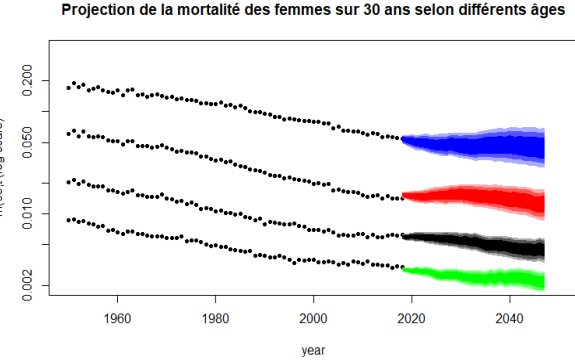


Figure 23 : Le modèle PLAT pour prédire le taux de mortalité des femmes sur 30 ans (2018 - 2048) pour différents groupes d'âges

#### Intégration des effets liés au changement climatique : impact de la température

- Le modèle de Seklecka Pantelous O'Hare (modèle SPO) a été créé en 2015 comme extension du modèle de PLAT.
- Il intègre les trois nouveaux paramètres suivants :
  - $\checkmark$   $k_t^{(4)}$  : un processus stochastique qui permet d'exprimer l'évolution de la mortalité en fonction de la température
  - $\checkmark$   $\alpha$ : un âge à partir de laquelle on considère que la température peut avoir un effet sur la mortalité
  - $\checkmark$   $C_x$ : un coefficient de corrélation entre la température et la mortalité

$$\ln(m_{x,t}) = \left[\alpha_x + k_t^{(1)} + (\bar{x} - x)k_t^{(2)} + (\bar{x} - x)^+ k_t^{(3)}\right] + \left[(a - x)^+ + C_x(x - a)^+\right]^2 k_t^{(4)} + \left[\gamma_{t-x} + E_{x,t}\right]$$

#### Données de température :

- Plateforme de données de température moyenne mensuelle de 1950 à 2018 : Goddard Institude for Space Studies (GISS)
- Ville française: Amiens, Bordeaux, Brest, Lyon, Marseille, Nice, Paris, Strasbourg et Toulouse
- Sources complémentaires : Météo France

CNP Assurances 96

#### Intégration des effets liés au changement climatique : évolution de la température moyenne

#### Méthode:

- ✓ Agrégation des données de température mensuelles moyenne des différentes régions pour obtenir la température moyenne au niveau de la France.
- ✓ Estimation des variables de température annuelle (maximale, minimale, moyenne) et le nombre de mois avec une température supérieure à 20°C ou inférieur à 0°C

#### Evolution de la température de la France de 1950 à 2018

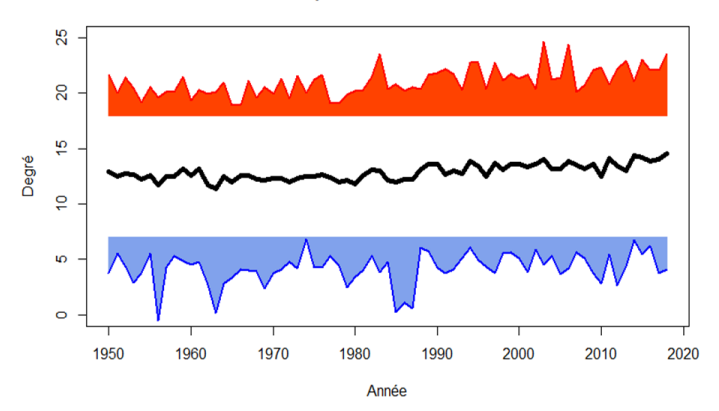


Figure 31 : Evolution de la température de la France de 1950 à 2018

#### Nombre de mois en moyenne où l'on observe des températures > à 20°C ou < à 0°C

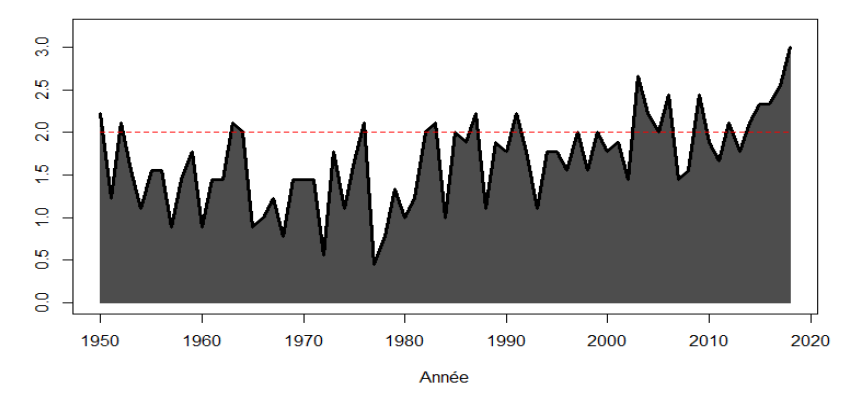


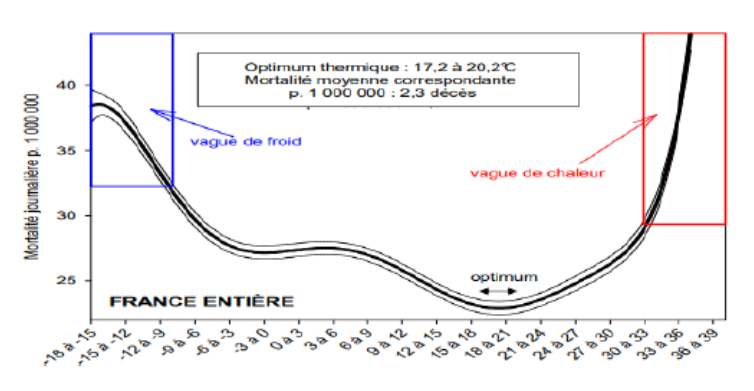
Figure 32 : Evolution du nombre de mois en moyenne où l'on observe des températures supérieures à 20°C ou inférieur à 0°C

Intégration des effets liés au changement climatique : nature de la dépendance entre mortalité et température

#### La nature de la dépendance entre la température et la mortalité a la forme d'un U

- ✓ avec des pics saillants aux deux extrémités représentant respectivement les situation de grand froid ou de grande chaleur
- ✓ et une hétérogénéité de la résilience de l'homme face à la température selon les profils (âge et sexe)

# Relation température-mortalité en France (source : La mortalité selon le contexte thermique – JP Besancenot)

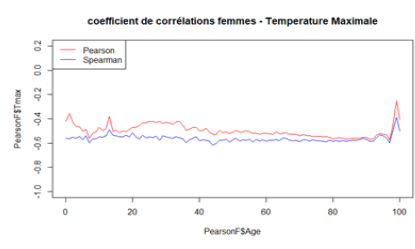


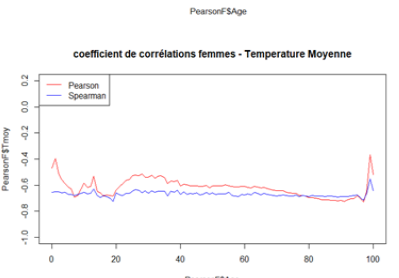
Intégration des effets liés au changement climatique : corrélation entre mortalité et température

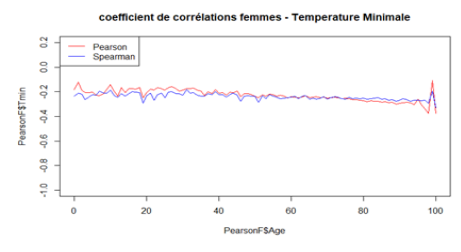
Evolution de la corrélation entre la température et la mortalité avec les méthodes de Spearman et Pearson

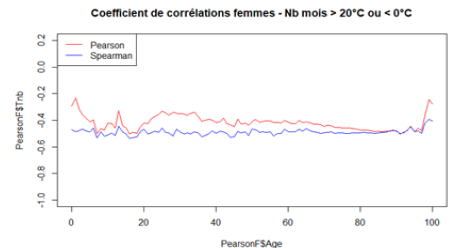
Corrélation température-mortalité population féminine

Corrélation température-mortalité population masculine

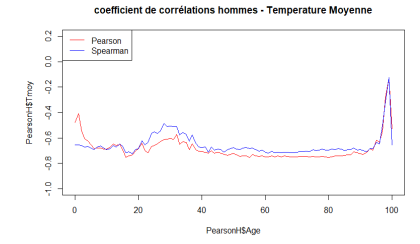


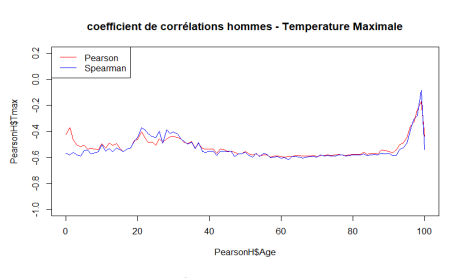














Intégration des effets liés au changement climatique : sélection du modèle prédictif

#### Les critères AIC et BIC sont utilisés pour comparer la qualité d'ajustement entre les modèles SPO.

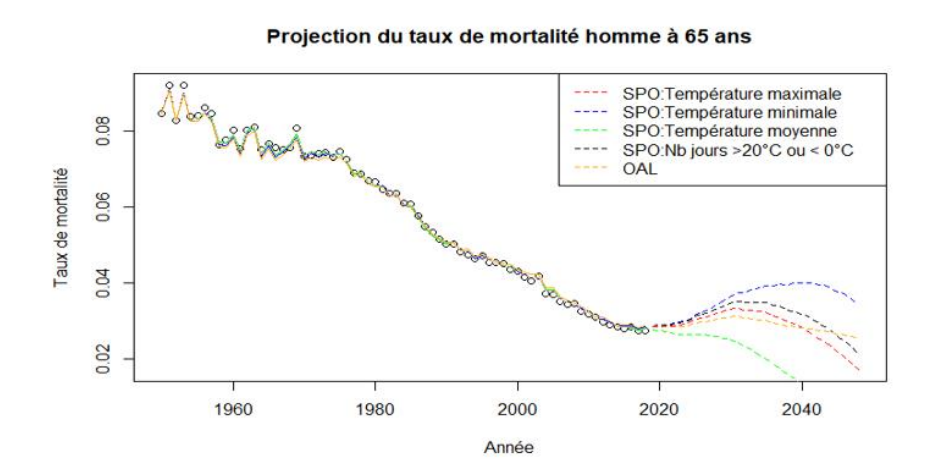
- ✓ Pour la population masculine, le modèle qui s'ajuste le mieux est le modèle de SPO température moyenne (différent du résultat initial retenant le modèle SPO température maximale).
- ✓ Pour la population féminine, le modèle SPO température maximale s'ajuste le mieux (différent des résultats de l'étude initiale qui retient le modèle SPO température Nb mois >20°C ou < 0°C).</p>

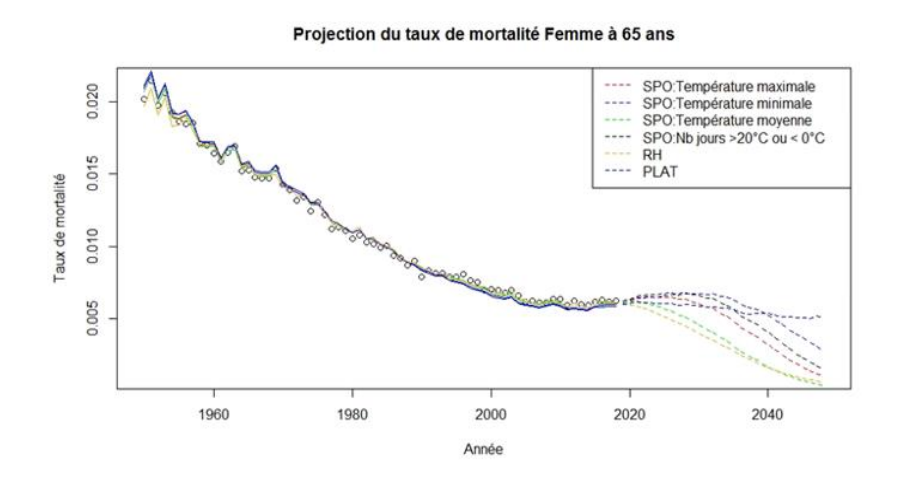
Homme	SPO Température maximale	SPO température minimale	SPO température moyenne	SPO NB jours >20°C ou <0°C
AIC	81830,25	83125,44	81530,72	81928,86
BIC	85521,99	86817,18	85222,45	85620,6
Femme	SPO Température maximale	SPO température minimale	SPO température moyenne	SPO NB jours >20°C ou <0°C
AIC	75363,74	76753,95	75596,66	75409,33
BIC	79055,47	80445,69	79288,39	79101,06

Tableau 13 : Evaluation de la qualité d'ajustement pour les modèles SPO selon le critère AIC et BIC

Intégration des effets liés au changement climatique : projection de la mortalité entre 2020-2050

Projection du taux de mortalité des hommes et des femmes à 65 ans selon différents modèles intégrant la température.





05

**Bibliographie** 

### **Bibliographie**

#### Mortalité et changement climatique

- Pincemin G. [2021] Risques climatiques et mortalité, impact du risque canicule à l'horizon 2070, Mémoire d'actuaire, EURIA.
- ✓ Brousse C. [2021] Modélisation de l'impact du changement climatique sur le risque de catastrophes naturelles causées par les inondations, Mémoire ISF, Dauphine.
- Papa Cheikh FALL (2021) Intégration de facteurs liés à la température dans modélisation du risque de mortalité, CEA
- Valentin GERMAIN (2022) Prise en compte du changement climatique dans la modélisation des risques biométriques et financiers, ENSAE
- Onerc [2009] Changement climatique Coûts des impacts et pistes d'adaptation, Documentation Française.
- FFA [2015] Changement climatique et assurance à l'horizon 2040, étude FFA.
- V Drif Y., Roche B., Valade P. [2020] Conséquences du changement climatique pour les maladies à transmission vectorielle et impact en assurance de personnes, Aon, Document de travail
- Charpentier A. [2015] Changement climatique et assurance, billet de blog
- TESSELAAR M., WOUTER BOTZEN W., AERTS J. [2020] Impacts of Climate Change and Remote Natural Catastrophes on EU Flood Insurance Markets: An Analysis of Soft and Hard Reinsurance Markets for Flood Coverage, Atmosphere, 11, 146, doi:10.3390/atmos11020146
- CCR (2018). Cons´equences du changement climatique sur le coût des catastrophes naturelles en France `a horizon 2050 version complète, url : https://www.ccr.fr/-/etudeclimatique2018versionlongue.

#### Mortalité et Longévité

- ✓ Julien Thomas, Frédéric Planchet, Construction d'une table de mortalité par positionnement : mode d'emploi, Institut des actuaires, Note de travail., ISFA Laboratoire SAF
- Julien Thomas, Frédéric Planchet, Critères de validation : aspects méthodologiques, Institut des actuaires, Note de travail. ISFA Laboratoire SAF
- Institut des actuaires, Construction des tables d'expérience : aspects méthodologiques
- ✓ Julien Thomas, Frédéric Planchet, Construction et validation des références de mortalité de place, Institut des actuaires, Note de travail., ISFA Laboratoire SAF
- ✓ Anani Olympio, Laura Bradier, travaux de R&D CNP Assurances : Risque de longévité et mesure des chocs S2 associée
- Antoine Delwarde et Michel Denuit, Construction de tables de mortalité périodiques et prospectives, Economica, 2006.
- Frédéric Planchet et Pierre Thérond, Modèle de durée, Economica, 2010.
- ✓ Brounhs, N., Denuit, M., Vermunt, J.K., A Poisson Log-bilinear regression approach to the contruction of projected lifetables, Insurance: Mathematics and Economics, 31, Elsevier, 2002, 373-393
- Anani Olympio et Voahirana RANAIVOZANANY, Gestion des risques d'entreprise –qualité des données, levier de pilotage stratégique-, Colloque AFIR ERM, 2013.



# Assurons un monde plus ouvert